

VŠB - Technická univerzita Ostrava
Fakulta stavební
Katedra geotechniky a podzemního stavitelství

Seizmické zatížení vlivem železniční dopravy mezi stanicemi Ostrava střed a
Ostrava hlavní nádraží

Seismic Load Due to the Rail Traffic between Ostrava střed Station and
Ostrava Main Station

Student:
Vedoucí bakalářské práce:

Tomáš Bílý
Ing. Martin Stolárik, Ph.D

Ostrava 2018

VŠB - Technická univerzita Ostrava
Fakulta stavební
Katedra geotechniky a podzemního stavitelství

Zadání bakalářské práce

Student: **Tomáš Bílý**

Studijní program: B3607 Stavební inženýrství

Studijní obor: 3647R017 Geotechnika

Téma: Seizmické zatížení vlivem železniční dopravy mezi stanicemi Ostrava střed a Ostrava hlavní nádraží
Seismic Load Due to the Rail Traffic between Ostrava střed Station and Ostrava Main Station

Jazyk vypracování: čeština

Zásady pro vypracování:

Úvod
Rešerše
Vlastní experimentální měření
Zhodnocení výsledků z měření
Závěr

Seznam doporučené odborné literatury:


1. KALÁB, Z. *Seizmická měření v geotechnice*. Monografie. 2008, Ostrava. ISBN 978-80-2481795-5
2. SARSBY, R. *Environmental Geotechnics*. Thomas Telford Limited, 2000, London. ISBN 978-0727727527
3. TOWHATA, I. *Geotechnical Earthquake Engineering*. Springer, 2008. Berlin. ISBN 978-3-540-35783-4
4. ČSN 73 0040 – Zatížení stavebních objektů technickou seismicitou a jejich odezva, Český normalizační institut, 1996, Praha.

Formální náležitosti a rozsah bakalářské práce stanoví pokyny pro vypracování zveřejněné na webových stránkách fakulty.

Vedoucí bakalářské práce: **Ing. Martin Stolářík, Ph.D.**

Datum zadání: 31.10.2017

Datum odevzdání: 04.05.2018


doc. RNDr. Eva Hrubešová, Ph.D.
vedoucí katedry




prof. Ing. Radim Čajka, CSc.
děkan fakulty

Prohlášení studenta

Prohlašuji, že jsem celou bakalářskou práci včetně příloh vypracoval samostatně pod vedením vedoucího bakalářské práce a uvedl jsem všechny použité podklady a literaturu.

V Ostravě

.....

Podpis studenta

Prohlašuji:

- Byl jsem seznámen s tím, že na moji bakalářskou práci se plně vztahuje zákon č. 121/2000 Sb. – autorský zákon, zejména § 35 – užití díla v rámci občanských a náboženských obřadů, v rámci školních představení a užití díla školního a § 60 – školní dílo.
- Beru na vědomí, že Vysoká škola báňská – Technická univerzita Ostrava (dále jen VŠB-TUO) má právo nevýdělečně ke své vnitřní potřebě bakalářskou práci užít (§ 35 odst. 3).
- Souhlasím s tím, že údaje o bakalářské práci budou zveřejněny v informačním systému VŠB-TUO.
- Bylo sjednáno, že s VŠB-TUO, v případě zájmu z její strany, uzavřu licenční smlouvu s oprávněním užít dílo v rozsahu § 12 odst. Autorského zákona.
- Bylo sjednáno, že užít své dílo – bakalářskou práci nebo poskytnout licenci k jejímu využití mohu jen se souhlasem VŠB-TUO, která je oprávněna v takovém případě ode mne požadovat přiměřený příspěvek na úhradu nákladů, které byly VŠB-TUO na vytvoření díla vynaloženy (až do jejich plné výše).
- Beru na vědomí, že odevzdáním své práce souhlasím se zveřejněním své práce podle zákona č. 111/1998 Sb., o vysokých školách a o změně a doplnění dalších zákonů (zákon o vysokých školách), ve znění pozdějších předpisů, bez ohledu na výsledek její obhajoby.

V Ostravě

Anotace:

Práce se zabývá stanovením a posouzením seizmického zatížení od vlakové dopravy na stavby podél železniční trati mezi stanicemi Ostrava střed a Ostrava hlavní nádraží. Problematika je řešena pomocí měření, která probíhaly in-situ ve sledované oblasti. Tři měření proběhly v samotných objektech, dvě v blízkosti základů nosných pilířů mostů přemostujících tuto trať. Součástí práce je také profilové měření útlumu horninového prostředí. Na základě dat z vybraných vrtů ve sledované oblasti, poskytnutých Českou Geologickou Službou, byl vytvořen model geologického podloží sledované oblasti.

Klíčová slova:

Železniční doprava, technická seismicita, rychlost kmitání, seizmické měření

Annotation:

This bachelor thesis deals with determination and evaluation of seismic load due to railway traffic along the track between Ostrava main station and Ostrava střed. The issue is dealt with by in-situ measurements. Three measurements were done on the lowest floors of the buildings, two were done near the bases of bridge pillars. This thesis also includes profile measurement of the decline of vibration velocity. Based on the data of boreholes, which were provided by Česká Geologická služba, a model of the geotechnical environment of the area was created.

Key words:

Railway traffic, technical seismicity, vibration velocity, seismic measurement

Obsah

1	ÚVOD.....	7
2	HISTORIE.....	8
2.1	BÁŇSKÁ DRÁHA.....	8
2.2	ULICE PORÁŽKOVÁ.....	9
3	LOKALITA V SOUČASNOSTI.....	10
4	CHARAKTERIZACE GEOLOGICKÉHO PODLOŽÍ OBLASTI.....	11
5	MĚŘÍCÍ ZAŘÍZENÍ.....	13
5.1	ZAŘÍZENÍ BRS-32.....	13
5.2	ZAŘÍZENÍ Gaia.....	14
5.3	SENZOR ViGeo2.....	15
6	PRŮBĚH MĚŘENÍ.....	16
7	Norma ČSN 73 0040 - Zatížení stavebních objektů technickou seizmicitou a jejich odezva ...	17
8	SLEDOVANÉ OBJEKTY.....	19
8.1	PORÁŽKOVÁ 1424/20.....	21
8.2	PORÁŽKOVÁ 1132/42.....	23
8.3	PLYNÁRNÍ 18.....	26
8.4	MOST NA ULICI 28. ŘÍJNA.....	28
8.5	MOST NA ULICI ČESKOBRASTRSKÁ.....	30
8.6	ÚTLUM HORNINOVÉHO PROSTŘEDÍ VE SLEDOVANÉ LOKALITĚ.....	32
9	VYHODNOCENÍ.....	34
9.1	BRMONITOR.....	34
9.2	SWIP.....	35
9.3	VYHODNOCENÍ PORÁŽKOVÁ 1424/20.....	37
9.4	VYHODNOCENÍ PORÁŽKOVÁ 1132/42.....	38
9.5	VYHODNOCENÍ PLYNÁRNÍ 18.....	40
9.6	VYHODNOCENÍ 28. ŘÍJNA.....	41
9.7	VHODNOCENÍ ČESKOBRASTRSKÁ.....	42
9.8	ÚTLUM HORNINOVÉHO PROSTŘEDÍ VE SLEDOVANÉ LOKALITĚ.....	43
10	ZÁVĚR.....	45
11	SEZNAM POUŽITÝCH ZDROJŮ INFORMACÍ.....	46
12	SEZNAM OBRÁZKŮ POUŽITÝCH V TEXTU.....	47
13	SEZNAM GRAFŮ POUŽITÝCH V TEXTU.....	48
14	SEZNAM TABULEK V TEXTU.....	49

1 ÚVOD

Ostrava za svůj největší rozmach vděčí těžbě černého uhlí a těžkému průmyslu. Vzhledem ke geografické poloze Ostravy nebylo možné převážet vytěžené uhlí lodní přepravou, a tak bylo do hutí transportováno pomocí železnice. Jak se město postupně rozrůstalo, původní uhelná odbočka sloužící k zefektivnění přepravy uhlí se ocitla v srdci samotné Ostravy. Železniční doprava však s sebou přináší i negativní vlivy. Z důvodů převozu těžkých nákladů soupravami, které již samotné mají několik tun, vznikají silné seismické a akustické jevy. Tyto problémy spadají do oboru technické seismicity, společně s jevy vyvolanými provozem těžkých strojů, dopravními prostředky a technickými odstřely. Stanovováním a posuzováním seismických účinků na stavby se zabývá norma ČSN 73 0040 Zatížení stavebních objektů technickou seismicitou a jejich odezva. [1][2] [15]

Hlavní částí této bakalářské práce je terénní měření dynamické odezvy stavebních objektů podél sledované železniční trati a následné zpracování a vyhodnocení výsledků. Měření byla prováděna seismickými stanicemi BRS-32 a Gaia, a naměřené hodnoty byly vyhodnoceny pomocí softwarů BRmononitor a SWIP. Součástí práce je také modelování geologického podloží oblasti pro lepší představu o geotechnických podmínkách. Cílem práce je provést měření ve sledované lokalitě, stanovit a posoudit maximální amplitudy rychlosti.

Hlavním zdrojem informací pro tuto práci byly, kromě literatury doporučené vedoucím práce, také dokumenty poskytnuté Správou železničních dopravních cest, projektová dokumentace poskytnutá archivem stavebního úřadu pro Moravskou Ostravu a Přívoz a archivované záznamy o vrtech České geologické služby.[9] [10]

2 HISTORIE

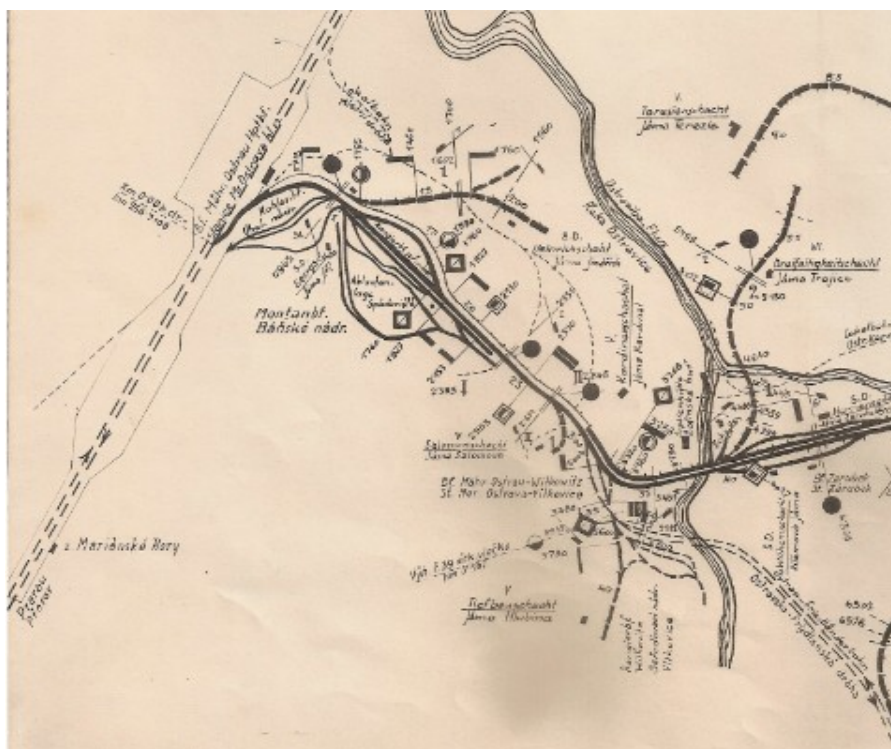
2.1 BÁŇSKÁ DRÁHA

První známky existence Ostravy pocházejí z 8. století. Do objevu uhlí roku 1763 nemělo město žádný zvláštní význam. Uhlí jako surovina zpočátku nebylo žádané, v průběhu několika desetiletí však poptávka vzrostla. Roku 1828 byly v sousední vesnici Vítkovice založeny Rudolfovy hutě, které využívaly ostravské uhlí ke zpracování železné rudy. To podnítilo obrovský rozvoj Ostravy a roku 1847, po investicích barona Rothshilda, byla do Ostravy přivedena železnice. Tehdejší železnice měla pouze jednu stanici - Ostrava, ke které bylo uhlí dopravováno pomocí koňských potahů. Jejich nevýhodou byla časová náročnost, složitá překládka a vysoké nároky na množství koňské i lidské síly (1800 koní a 1200 pracovníků).

Od počátku 50. let se začaly objevovat návrhy na přímou železniční trať k dolu Karolina, která by výrazně zefektivnila přepravu uhlí do hutí. Krátce poté začala výstavba a roku 1856 byla železniční trať s odbočkou k dolu Karolina otevřena pro koňský provoz, který byl roku 1861 vystřídán provozem parním. Roku 1871 bylo na této trati vybudováno nádraží, původně pod názvem Ostrava - Vítkovice, jež mělo za úkol zefektivnit přepravu pracovníků dolu. Nádraží bylo později přejmenováno na Ostrava střed.

Obrovský rozvoj těžby uhlí zapříčinil, že kapacita jedné koleje už pro přepravu uhlí nebyla postačující, a tak zde roku 1881 byla vybudována druhá kolej. (Obr. 1)[14][15]

22. listopadu 2007 byla na této trati zřízena další vlaková stanice s názvem Ostrava - Centrum, která se nachází mezi stanicemi Ostrava střed a Ostrava hlavní nádraží. Stanice byla po šesti měsících přejmenována na Ostrava-Stodolní. [16]



Obr. 1: Mapa báňské dráhy z roku 1942[12]

2.2 ULICE PORÁŽKOVÁ

Ulice Porážkova získala svůj název podle centrálních jatek, které zde byly postaveny roku 1881 za účelem zlepšení hygienické situace ve městě. Příčinou byla nevybudovaná kanalizace, která měla za důsledek hromadění odpadu z lokálně poraženého dobytku na ulicích. Jatky byly postaveny na konci ulice Stodolní, na místech, kde tehdy vedla pouze železnice. (Obr. 2)

S expanzí města vyrostly podél železnice další objekty, především v letech 1900-1929, kdy byla ulice ukončena vozovnou tramvají městské hromadné dopravy. Samotné jatky musely být několikrát rozšiřovány a rekonstruovány, aby dokázaly uspokojit potřeby rychle narůstajícího množství obyvatel. [13]



Obr. 2: Historická fotografie městských jatek [13]

3 LOKALITA V SOUČASNOSTI

V dnešní době je železnice součástí trati Ostrava - Valašské Meziříčí (Obr. 3). Po této trati projede denně přibližně 130 vlaků veřejné přepravy a až 50 vlaků nákladní přepravy.

Velká část objektů podél železniční trati je původních ze začátku 20. století. Jedná se především o dvou až tří podlažní objekty využívané jako kanceláře nebo jednopodlažní objekty sloužící ke skladování. Na několika místech byla stará zástavba zbourána a nahradily ji modernější objekty. Jatky, které byly v provozu do roku 1965, se staly ostravskou kulturní památkou, avšak jejich oprava je stále ve fázi příprav.

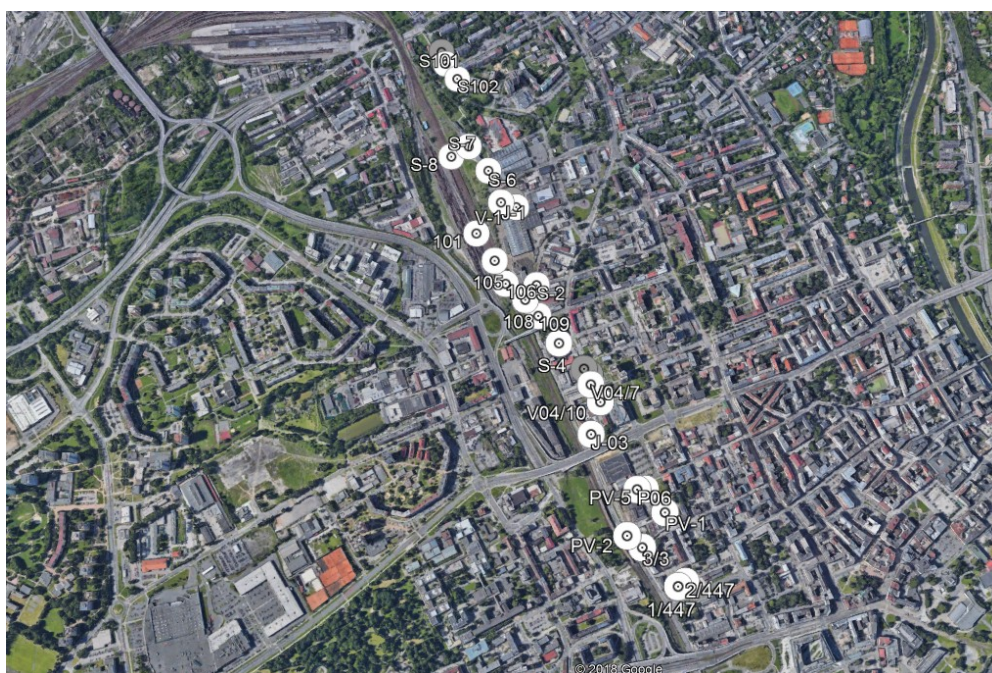
Přes železniční trať vedou dva silniční mosty - Frýdlantské mosty a most na ulici Českobratrská, pro pěší se zde pak nachází dvě lávky.



Obr. 3: Mapa sledované oblasti z roku 2018

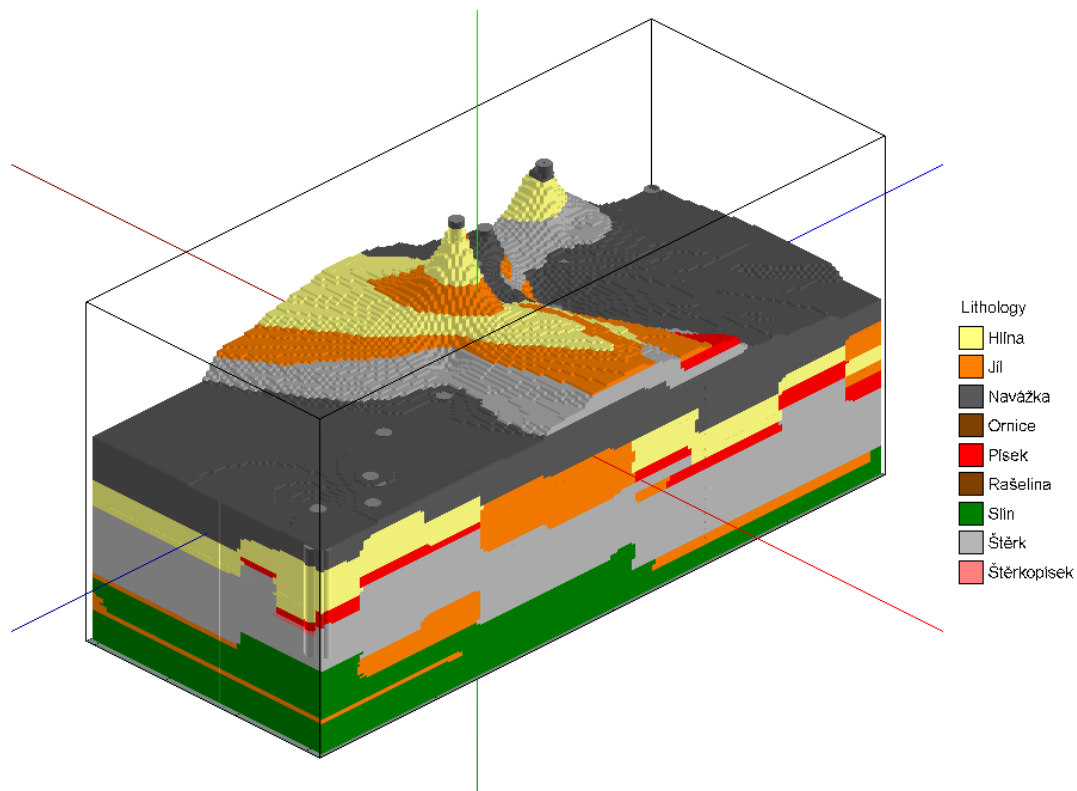
4 CHARAKTERIZACE GEOLOGICKÉHO PODLOŽÍ OBLASTI

Pro charakterizaci geologického podloží bylo v databázi Geofond České geologické služby vybráno následujících 27 vrtů (Obr. 4). Po zaslání žádosti byly poskytnuty údaje o litologii, stratigrafii a hydrogeologii každého vrtu. Hloubka vrtů se pohybovala mezi 4 a 10 metrů.



Obr. 4: Umístění vybraných vrtů

Pro grafické zpracování vrtů a modelování geologického prostředí bylo využito programu RockWorks 17 společnosti RockWare (Obr. 5, Obr. 6). Svrchní vrstva se skládá převážně z navážky antropogenního původu a sahá až do hloubky 2,2 metrů. Lokálně pak vystupují na povrch nižší polohy štěrku. Pod svrchní vrstvou se střídají především polohy jílu a hlín, o mocnosti kolem 2 metrů. Báze kvartéru je tvořena vrstvou štěrku mocnosti 2,5m. Poslední prozkoumanou vrstvou je svrchní vrstva neogénu v hloubce nejméně 5,6 metru, kde se nachází slín. Hladina podzemní vody se pohybuje mezi 1 a 6,8 metry.



Obr. 5: Model geologického podloží



Obr. 6: Řez modelem geologického prostředí

5 MĚŘICÍ ZAŘÍZENÍ

5.1 ZAŘÍZENÍ BRS-32

Většina měření probíhala pomocí přístroje BRS-32 vyrobený českou firmou TEDIA s.r.o. (Obr. 7). Jedná se o seismický datalogger s frekvenčním rozsahem 0,5 Hz až 80 Hz při dynamice 120 dB, závisející na instalovaném interním třísložkovém geofonu. Samotný záznamník má pak vstupní dynamický rozsah až 140dB. Interní geofony mohou být buď typu SM6 (Holandsko), s rozsahem 4,5Hz až 100 Hz, nebo typu LE3D (Německo), s rozsahem 1 Hz až 80 Hz. V případě potřeby je přístroj vybaven třemi vstupy pro připojení externích snímačů. Externí snímače jsou umístěny na boční stěně skříně dataloggeru. Jedná se o konektory typu Buccaneer řady 400 se stupněm krytí IP68. Jejich výrobcem je firma Bulgin. Přístroj je opatřen vlastním akumulátorem s výdrží až 48 hodin. Součástí přístroje je také GPS lokátor, nezbytný k lokalizaci zařízení před měřením.

Měření je zaznamenáváno na interní paměť o velikosti 32 GB, což odpovídá 4 měsícům záznamu. Data jsou ukládány v souboru formátu .bin, ve složce odpovídající datu, kdy bylo měření prováděno, a sériovému číslu přístroje. Každý soubor se záznamem obsahuje až 42 minutový úsek měření a jednotlivé soubory jsou v rámci měření chronologicky číslovány. Paměť přístroje obsahuje také několik souborů sloužících k automatické konfiguraci přístroje, software k vyhodnocování naměřených hodnot BRmonitor a Excel tabulku k podrobné analýze naměřených dat. [8]



Obr. 7: Seismický datalogger BRS-32

5.2 ZAŘÍZENÍ Gaia

Gaia je autonomní tříkanálová seizmická stanice s dynamickým rozsahem 138db_{p-p} a záznamem dat na Compact Flash disky, které umožňují posílání SMS zpráv (Obr. 8). Stanice je určena pro dlouhodobá i krátkodobá seizmická měření. Součástí stanice je i program SeisTools2, který slouží ke konfiguraci parametrů a kontrole činnosti stanice. Stanice je vybavena celkem třemi analogovými vstupy, z čehož jsou dva vstupy typu RS 232 a jeden typu RS 422. [6] [4] [5]

Vstupy typu RS 232 slouží k připojení počítače a konfiguraci stanice. První přenáší data v reálném čase a umožňuje vylepšení firmware a připojení rozšiřujících modulů. Druhý vstup slouží k připojení GSM modemu. RS 422 vstup je využíván k připojení GPS přijímače a je oproti standardní RS 422 navíc rozšířen o signál PPS a napájení GPS. Napájení stanice je přizpůsobeno požadavkům k použití typických 12V akumulátorů, které však musí napájet nejen stanici, ale i externí snímač. Je také možné stanici napájet z externího zdroje. Výběr způsobu napájení je automatický, není jej tedy nutné manuálně nastavovat. [6]



Obr. 8: Seizmická stanice Gaia

5.3 SENZOR ViGeo2

ViGeo2 je aktivní, tříoskový, krátkoperiodický, rychlostní seismometr pro terénní i staniční použití (Obr. 9). Seismometr obsahuje tři mechanické kmitavé systémy (snímače) s vlastní frekvencí 2 Hz a frekvenčním rozsahem od 2 Hz do 200Hz. [7] [11]



Obr. 9: Seismometr ViGeo2

6 PRŮBĚH MĚŘENÍ

Na začátku měření je potřeba přístroj nebo senzor ustavit do vodorovné polohy a orientovat kolmo ke zdroji zatížení (Obr. 10). Po spuštění určí přístroj pomocí GPS souřadnice měření a přesný družicový čas s přesností na 1 μ s. V případě, že na referenčním stanovišti není možné zajistit GPS signál, je možné přístroj nejprve lokalizovat pomocí GPS a pak teprve umístit na referenční stanoviště. Jakmile je přístroj lokalizován, časově synchronizován a ustaven na referenčním stanovišti, může být spuštěno měření. Měření trvá, dokud není manuálně ukončeno, nedojde k poklesu napětí akumulátoru nebo naplnění paměti. Naměřená data se poté přesunou do počítače pomocí USB portu, přístroj však poskytuje také možnost přenosu dat pomocí LAN sítě. Tento způsob přenosu je vhodný pro dlouhodobá měření s průběžným vyhodnocováním. [8]



Obr. 10: Příklad ustavení měřícího zařízení

7 Norma ČSN 73 0040 - Zatížení stavebních objektů technickou seizmicitou a jejich odezva

Tato norma platí pro stanovení seizmického zatížení technickou seizmicitou a odezvy stavebních objektů bytových, občanských a objektů pro průmyslovou a zemědělskou výrobu v oblastech s výskytem technických otřesů na území ČR. Seizmickým zatížením rozumíme zatížení, způsobené lidskou činností, a to buď jako kinematické buzení nadzemních objektů nebo dynamické zatížení podzemních objektů. Následek tohoto zatížení je vynucené kmitání objektů.

Odezva objektů na takovéto zatížení je proměnná v čase, v závislosti na vlastnostech objektu a charakteru buzení. V případě technických otřesů vyvolaných dopravou, jsou charakter a intenzita těchto otřesů dány rychlostí pohybujícího se dopravního prostředku, povrchem dráhy a její konstrukcí, geologickými poměry prostředí, kterým se otřesy šíří, vlastnostmi základové půdy, typem základové konstrukce a hmotností objektu.

Na základě této normy byly jednotlivé objekty nejprve zatříděny dle tabulky 1 do třídy významu objektu dle normy ČSN 73 0031. a poté podle tabulky 2 do tříd odolnosti objektu. Po zatřídění lze z tabulky 3 stanovit mezní hodnotu efektivní rychlosti v_{ef} v mm/s.
[2] [3]

Třída významu objektu	Význam objektu
U	objekty s mimořádným ekonomickým, anebo společenským významem
I	objekty s velkým ekonomickým, anebo společenským významem
II	objekty se středním ekonomickým anebo společenským významem
III	objekty s omezeným ekonomickým anebo společenským významem

Tabulka 1: Tabulka třídy významu objektů [3]

Třída odolnosti objektu	Objekty bytové, občanské, průmyslové a zemědělské	Objekty inženýrské	Objekty podzemní	Podzemní inženýrské sítě a kabely
A	chatrné stavby, neodpovídající stavebním předpisům, zříceniny; historické budovy z neopracovaného kamene nebo cihel s klenutými překlady, průvlaky a plošnými klenbami nad místnostmi v přízemí a suterénu; kamenné a zděné pomníky a kašny; budovy s rozsáhlou plastikou výzdobou; budovy ve zvláštní památkové péči; archeologické objekty;			
B	běžné cihelné stavby, izolované nebo řadové domky s půdorysnou plochou do 200 m ² , nejvýše o 3 podlažích			
C	veliké budovy z cihel a tvárníc, dobře ztužené stavby panelové a montované z betonových prvků; zdivo na cementovou maltu	kamenné mosty (sochy a ozdoby) opěrné a ochranné zdi z kamene a cihel, zděné vodojemy	keramické a kamenné obklady a dlažby v podzemních objektech metra, v podchodech	potrubí osinkocementové, kameninové, kabelové spojky, Pupinovy skříně na sdělovacích kabelech
D	budovy ze skeletu ocelového nebo betonového, dřevěné a hrázdné stavby s dobrým ztužením, prostý beton	opěry mostů z opracovaného kamene, monolitické vodojemy	cihelné, kamenné a tvárnice vyzdívané v podzemních objektech	potrubí litinové, betonové, potrubí z umělých hmot
E	železobetonové a ocelové konstrukce, výrobní a provozní objekty, železobetonová síla a zásobníky	železobetonové inženýrské stavby, ocelové stožáry	betonové monolitické konstrukce podzemních objektů; vyzdívané a monolitické štoly kruhového a vejčitého tvaru; stoky a technologické tunely z dílců a trub o průměru větším než 800 mm; podzemní železobetonové stěny, kotvení - kořeny kotev	kabely žilové a koaxiální sdělovací kabely
F			železobetonové a ocelové ostění tunelů metra a kolektorů; úkryty civilní obrany	potrubí ocelové

Tabulka 2: Třídy odolnosti objektů[2]

Třída odolnosti objektu	$v_{ef}^{(1)}$			
	Třída významu objektu (podle ČSN 73 0031)			
	U	I	II	III
A	0,2	0,4	0,7	1,1
B	0,4	0,6	1,0	1,8
C	0,7	1,5	2,0	2,8
D	0,9	2,0	2,5	3,5
E	1,1	2,5	3,0	4,0
F	1,5	3,0	4,0	5,0

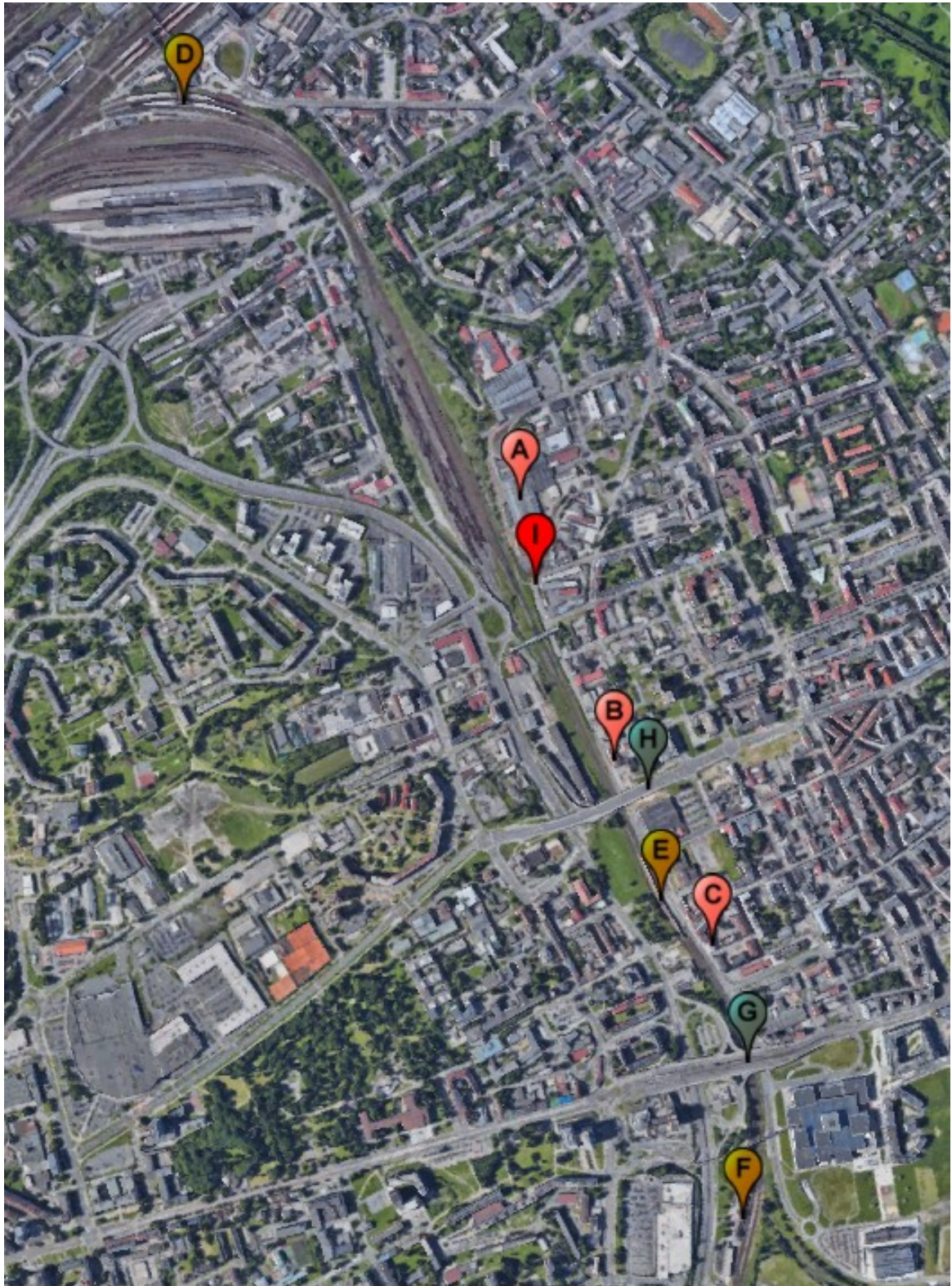
Tabulka 3: Mezní hodnoty efektivní rychlosti v_{ef} v mm/s[2]

8 SLEDOVANÉ OBJEKTY

Na začátku řešení seizmického zatížení oblasti bylo nutné vytipovat vhodné referenční objekty (Obr. 11). Důraz byl kladen především na objekty nacházející se v bezprostřední blízkosti trati. Při výběru bylo také zohledňováno stáří objektu. Po vybrání vhodných objektů byli kontaktováni jejich majitelé s žádostí o souhlas se vstupem a provedením měření. Přístup byl povolen dohromady do tří objektů, v ostatních případech se majitele nepodařilo kontaktovat nebo nám přístup nebyl umožněn. První série měření probíhala ve třech vybraných objektech na referenčních stanovištích dle normy ČSN 73 0040 Na základě písemné žádosti byl poskytnut přístup do Archivu stavebního úřadu pro Moravskou Ostravu a Přívoz. Zde byla prozkoumána původní projektová dokumentace, která zde byla uložena. U některých objektů se však dokumentace nedochovala nebo ji nebylo možné poskytnout.

Druhá série měření byla provedena na základech pilířů mostů přemostujících železniční trať. Vybrány byly dva mosty, první na ulici 28. října a druhý na ulici Českobratrská. Pro přístup na vhodná místa k provedení měření nebylo potřeba žádat o povolení.

Jako poslední bylo provedeno profilové měření za účelem stanovení útlumu prostředí sledované lokality.



***Obr. 11:** Mapa sledované oblasti s vyznačeným umístěním referenčních a měřících stanovišť a železničních stanic: A - Objekt Plynární 18, B - Objekt Porážková 1132/42, C - Objekt Porážková 1424/20, D - Ostrava hlavní nádraží, E - Ostrava-Stodolní, F - Ostrava střed*

8.1 PORÁŽKOVÁ 1424/20

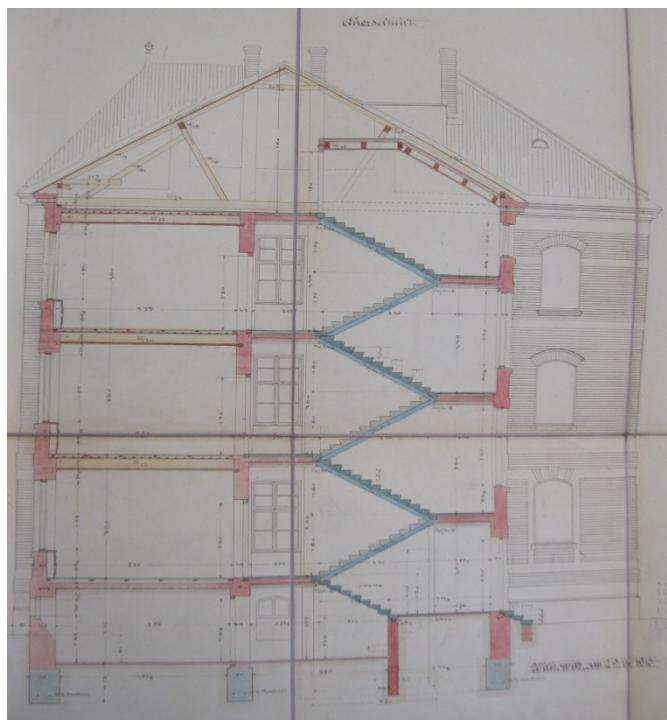


Obr. 12: Pohled na objekt Porážková 1424/20

Objekt se nachází na adrese Porážková 1424/20 (Obr. 12), mezi stanicemi Ostrava střed a Ostrava hlavní nádraží. Jedná se o dvoupatrový cihlový podsklepený objekt. Z projektové dokumentace, kterou poskytnul Archiv stavebního úřadu pro Moravskou Ostravu a Přívoz bylo dále zjištěno, že budova byla založena roku 1910 na základových pásech v hloubce 2 metrů (Obr. 14). Základová půda je tvořena především navázkou a jíly (Obr. 13). Hladina podzemní vody se nachází v hloubce 3 metry pod povrchem, jedná se tedy o suchý objekt. Původně byl postavený jako bytový dům, avšak roku 1997 tehdejší majitel oznámil změnu účelu užívání budovy na kancelářské účely. Během své životnosti byl mnohokrát rekonstruován, největší rekonstrukce proběhla roku 1964.

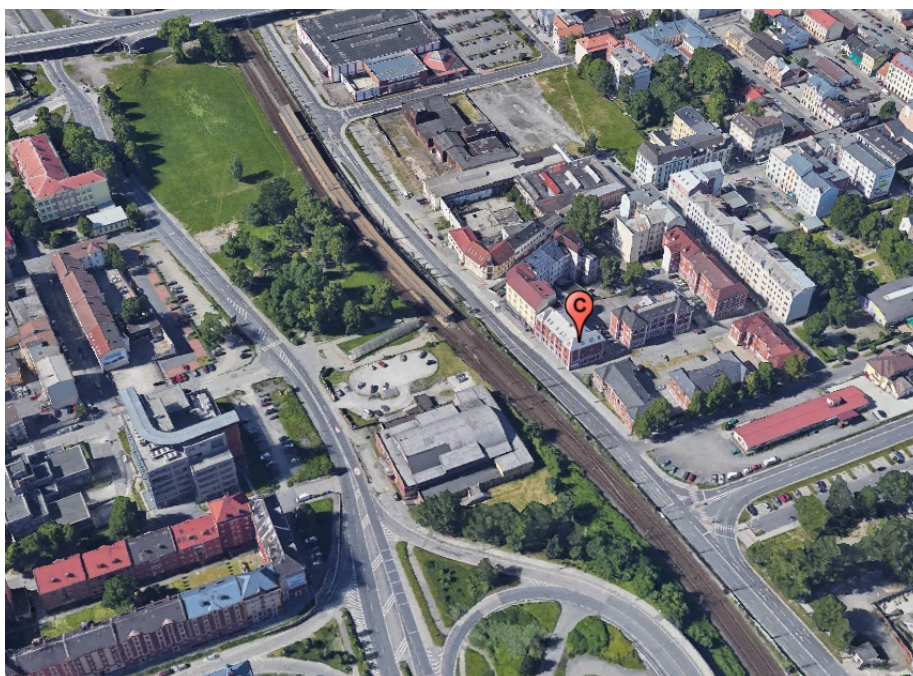


Obr. 13: Řez modelem v okolí sledovaného objektu



Obr. 14: Výkres řezu objektem

Od trati je objekt vzdálen 18 metrů. Ve vzdálenosti 62 metrů od objektu se nachází železniční stanice Ostrava-Stodolní (Obr. 15).



Obr. 15: Lokalizace objektu vůči železniční trati

Třída odolnosti objektu: B

Třída významu objektu: II

Mezní hodnota efektivní rychlosti: 1,0 mm/s

Měření začalo 22. 3. 2018 v 8:23 a ukončeno bylo 23. 3. 2018 v 8:21. Měření bylo prováděno seismickým dataloggerem BRS-32, který byl umístěn v suterénu budovy u západní obvodové stěny objektu (Obr. 16).



Obr. 16: Referenční stanoviště

8.2 PORÁŽKOVÁ 1132/42



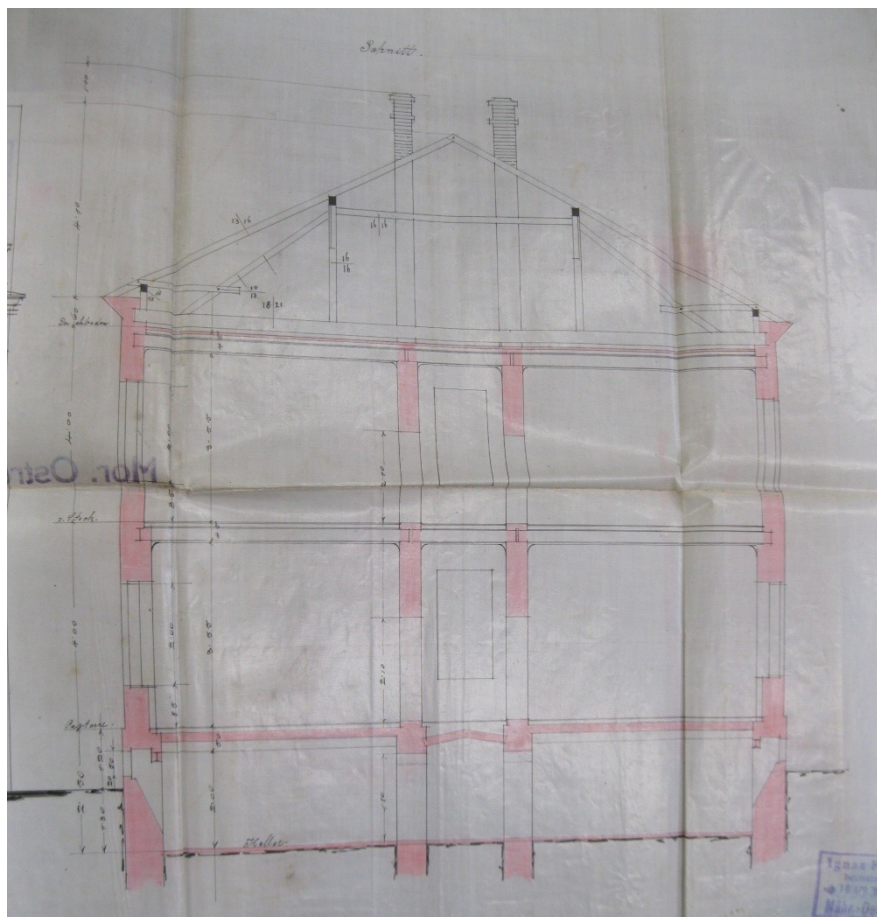
Obr. 17: Pohled na objekt Porážková 1132/42

Objekt se nachází na adrese Porážková 1132/42 (Obr. 17), mezi stanicemi Ostrava hlavní nádraží a Ostrava-Stodolní. Objekt byl podle původní dokumentace postaven

Ignazem Felixem roku 1899. Jedná se o jednopatrový podsklepený cihlový objekt, založený na základových pásech v hloubce 2 metrů (Obr. 19). Základová půda je tvořena navázkou a jílem (Obr. 18). Hladina podzemní vody byla zastižena v hloubce 3,5 metrů, jedná se tedy o suchý objekt. Původně byl používán k bydlení, od roku 1997 je však používán převážně pro kancelářské účely.

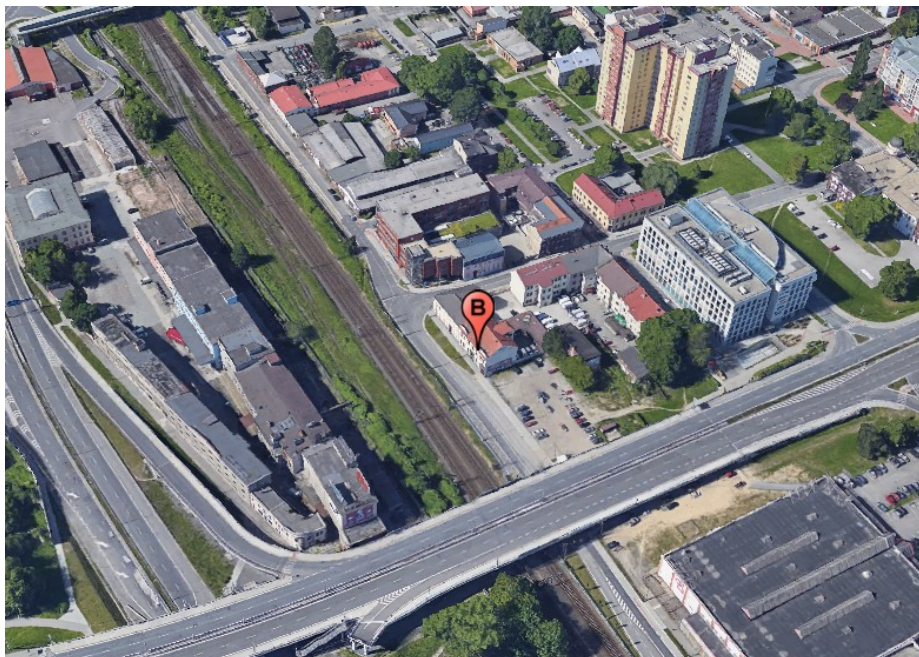


Obr. 18: Řez modelem podloží v okolí sledovaného objektu



Obr. 19: Výkres řezu objektem

Vzdálenost objektu od železniční trati je 20 metrů a od nejbližší železniční stanice 300 metrů (Obr. 20).



Obr. 20: Lokalizace objektu vůči železniční trati

Třída odolnosti objektu: B

Třída významu objektu: II

Mezní hodnota efektivní rychlosti: 1,0 mm/s

Měření začalo 19. 3. 2018 v 9:36 a ukončeno bylo 20. 3. 2018 v 7:00. Měření bylo prováděno seismickým dataloggerem BRS-32, který byl umístěn v suterénu budovy u západní obvodové stěny objektu (Obr. 21).



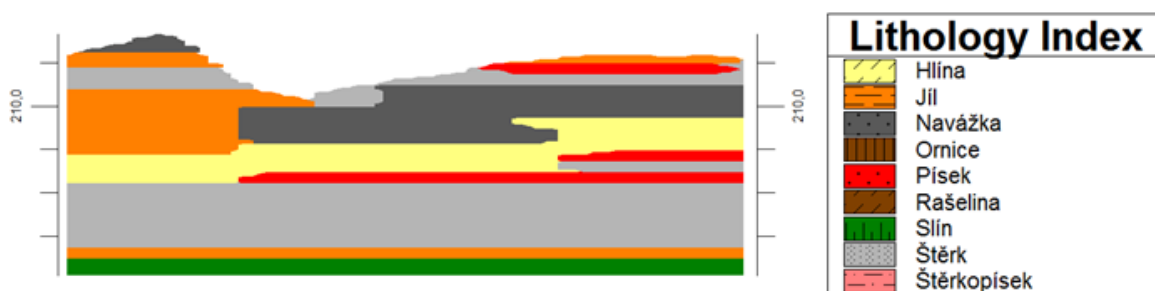
Obr. 21: Referenční stanoviště

8.3 PLYNÁRNÍ 18



Obr. 22: Pohled na objekt Plynární 18

Objekt se nachází na adrese Plynární 18, mezi stanicemi Ostrava hlavní nádraží a Ostrava-Stodolní (Obr. 22). Postaven byl roku 1929 jako první vozovna pro tramvaje městské hromadné dopravy města Ostravy. K tomuto účelu slouží dodnes. Jedná se o nepodsklepený objekt. Bohužel původní dokumentace objektu se nedochovala, proto nebylo možné zjistit další konstrukční parametry. Základová půda je tvořena jíly a šterky (Obr. 23).



Obr. 23: Řez modelem podloží v okolí sledovaného objektu

Objekt je od trati vzdálen 30 metrů a nejbližší stanice se nachází ve vzdálenosti 1km (Obr. 24).



Obr. 24: Lokalizace objektu vůči železniční trati

Třída odolnosti objektu: D

Třída významu objektu: I

Mezní hodnota efektivní rychlosti: 2,0 mm/s

Měření začalo 16. 3. 2018 v 8:44 a ukončeno bylo 19. 3. 2018 v 9:10. Měření bylo prováděno seismickým dataloggerem BRS-32, který byl umístěn na nejnižším podlaží u západní obvodové stěny objektu (Obr. 25).



Obr. 25: Referenční stanoviště

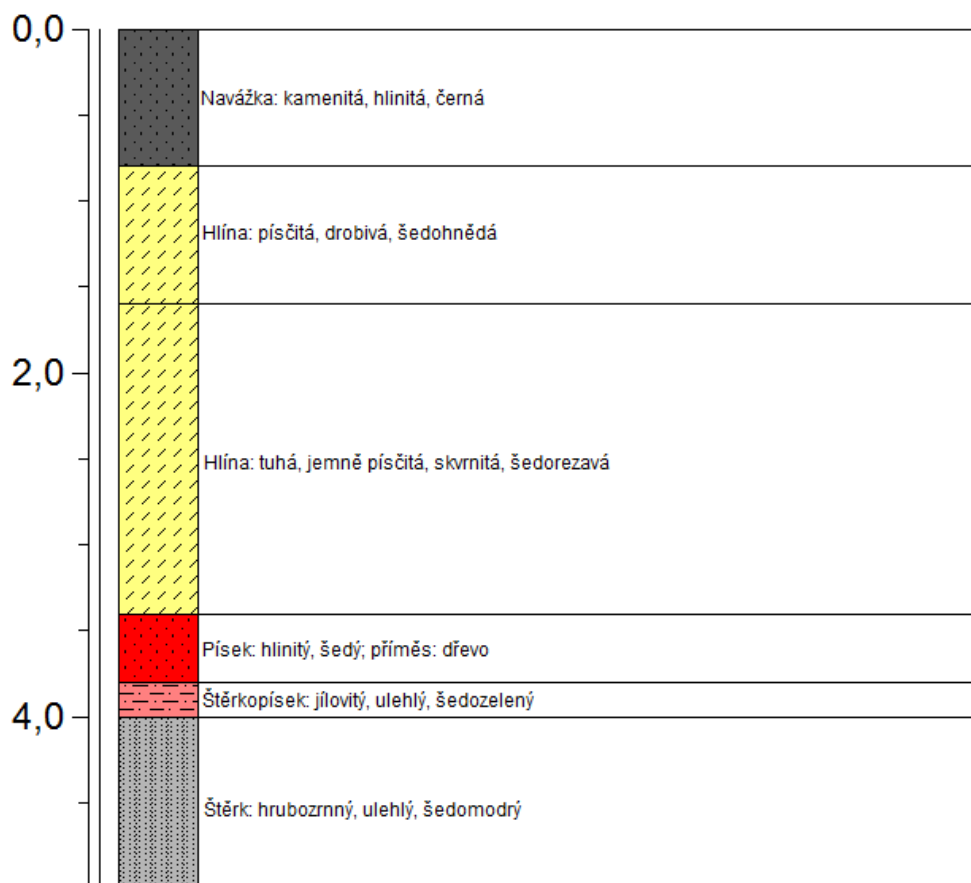
8.4 MOST NA ULICI 28. ŘÍJNA

Prvním sledovaným mostem je most na ulici 28. října, také známý jako Frýdlantské mosty, který leží mezi stanicemi Ostrava střed a Ostrava-Stodolní. Jeho stavba začala roku 1977 a do plného provozu byl uveden roku 1985. Jedná se o železobetonový prefabrikovaný most, určený pro silniční a tramvajovou dopravu. Celková délka jeho konstrukce včetně násypů tvoří 487 m a šířka 55m. Geologické podloží je tvořeno navážkou a jílem (Obr. 27).

Měření začalo 13. 4. 2018 v 10:40 a ukončeno bylo 13. 4. 2018 v 11:40. Vzdálenost referenčního stanoviště od trati byla 3,21 m (Obr. 26, Obr. 28).



Obr. 26: Lokalizace objektu vůči železniční trati



Obr. 27: Složení referenčního vrtu



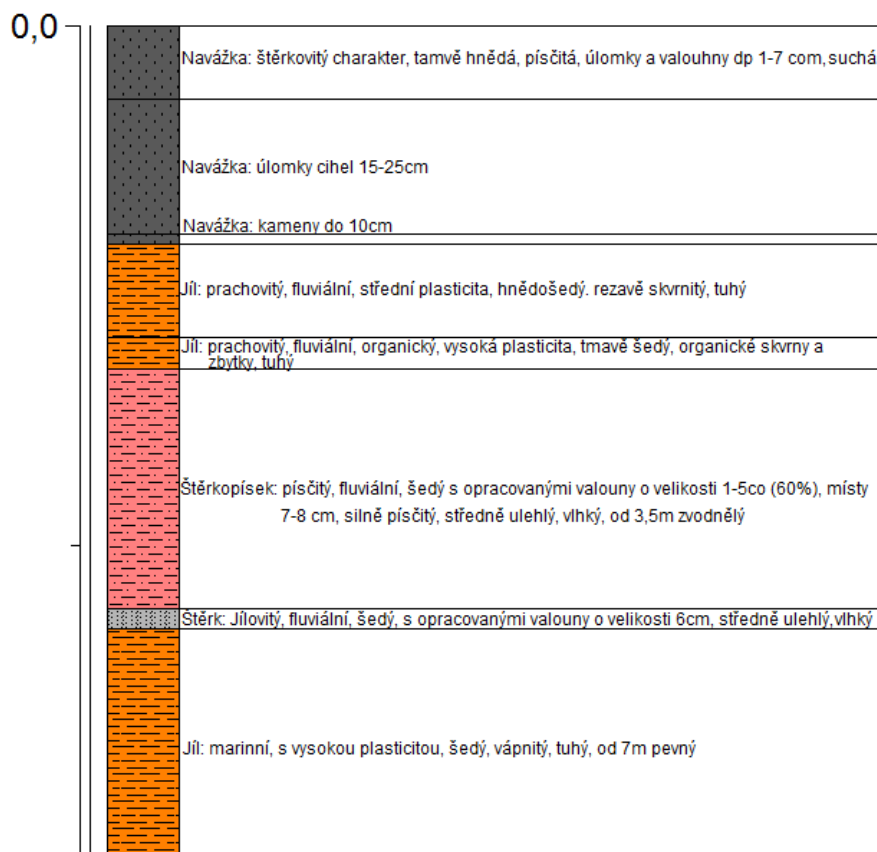
Obr. 28: Měřicí stanoviště

8.5 MOST NA ULICI ČESKOBRATRSKÁ

Most se nachází na ulici Českobratrská mezi stanicemi Ostrava-Stodolní a Ostrava hlavní nádraží. První stavební práce začaly v roce 2006 a roku 2008 byl most dokončen a uveden do provozu. Jedná se o železobetonový prefabrikovaný most, určený pro silniční dopravu. Délka konstrukce mostu včetně násypů je 330m a šířka 25m (Obr. 29). Geologické podloží je tvořeno navážkou a jílem (Obr. 30). Měření bylo provedeno 13. 4. 2018 mezi 12:21 a 13:52.



Obr. 29: Lokalizace objektu vůči železniční trati



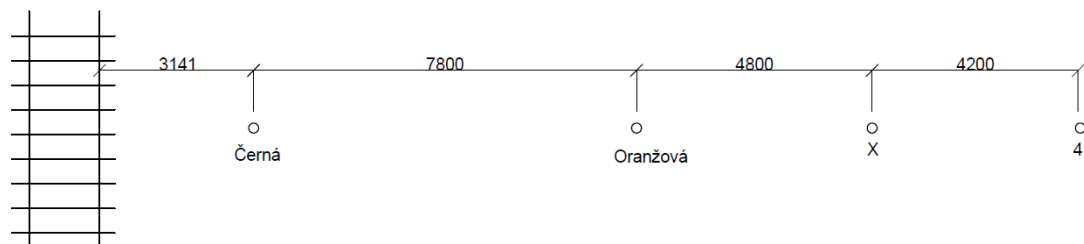
Obr. 30: Složení referenčního vrtu



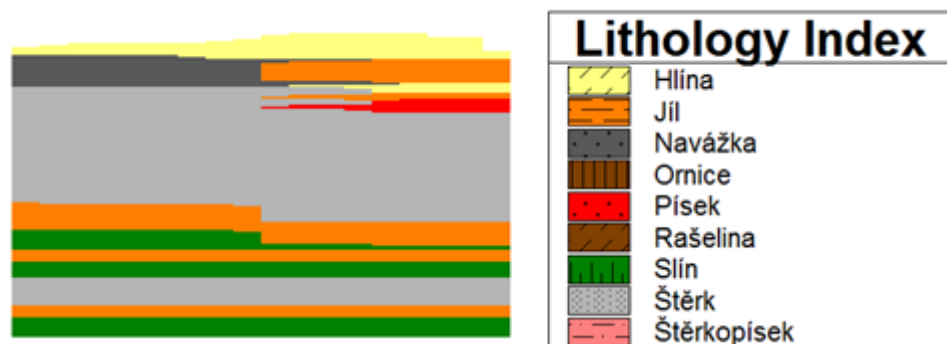
Obr. 31: Měřicí stanoviště

8.6 ÚTLUM HORNINOVÉHO PROSTŘEDÍ VE SLEDOVANÉ LOKALITĚ

Dne 25. 4. 2018 od 10:15 do 12:04 proběhlo profilové měření ve sledované lokalitě (Obr. 34). Měření bylo provedeno čtyřmi měřicími zařízeními: dvěma zařízeními typu BRS-32 (černá a oranžová) a dvěma stanicemi Gaia s externími snímači ViGeo (X,4) (Obr. 35). Tyto senzory byly umístěny dle schématu na obrázku číslo 32. Profil geologického podloží je uveden na obrázku 33. Hladina podzemní vody byla zastižena v hloubce 2,9 m.



Obr. 32: Schéma rozmístění seizmických senzorů



Obr. 33: Řez podložím sledovaného profilu



Obr. 34: Lokalizace měřicího stanoviště vůči železniční trati



Obr. 35: Měřicí stanoviště

9 VYHODNOCENÍ

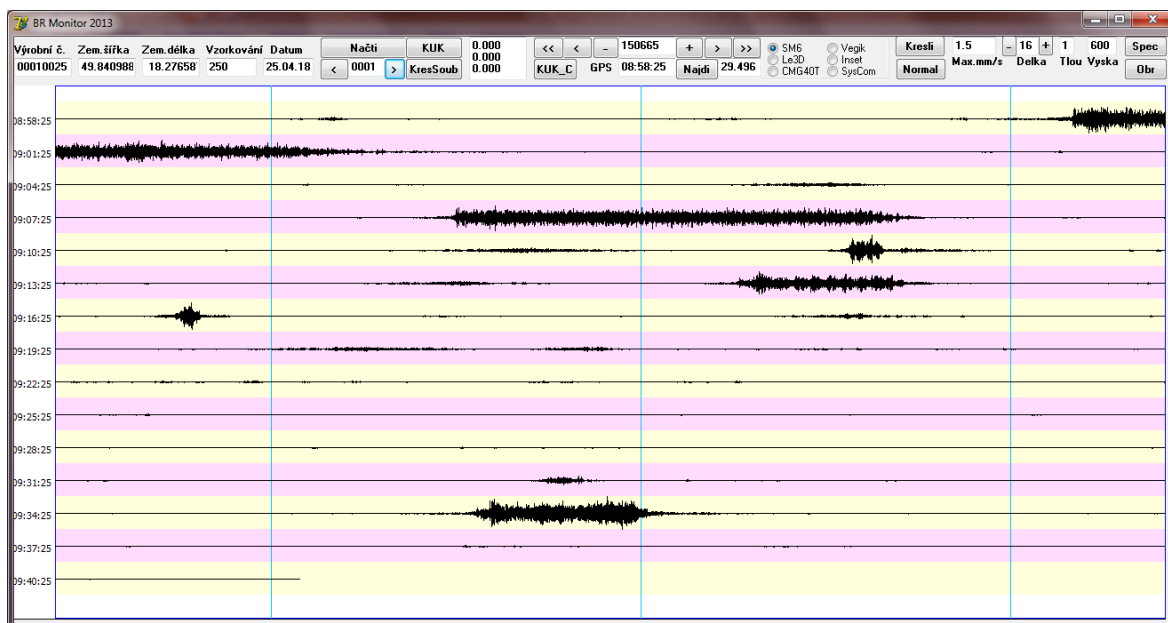
Na základě žádosti Správa železničních dopravních cest poskytla Sešitový jízdní řád pro nákladní dopravu a Sešitový jízdní řád pro osobní dopravu. Na základě těchto dokumentů byly zpětně dohledány časy jednotlivých průjezdů vlaků a k nim určeny korespondující hodnoty maximální amplitudy. Z každého typu soupravy poté bylo vybráno 10 referenčních případů průjezdů vlaků, které generovaly na konstrukci nejvyšší dynamické účinky ve vybraném časovém intervalu 12 hodin.

K vyhodnocení měření bylo využito programů BRmonitor a SWIP. Jedná se o software poskytovaný výrobcem příslušné seismické stanice.

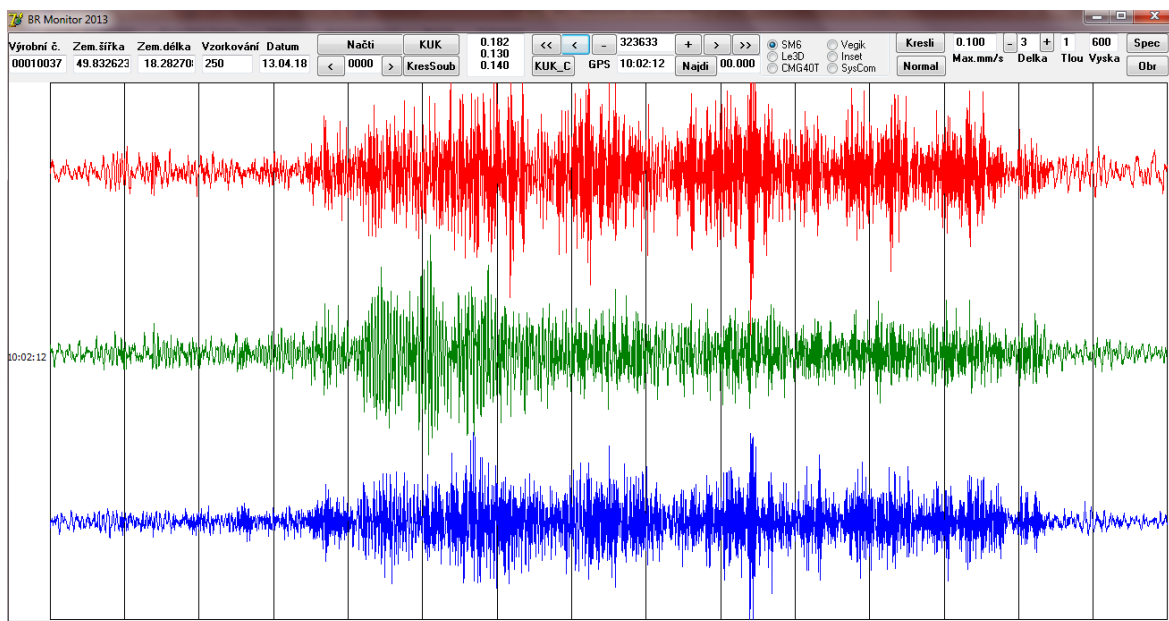
9.1 BRMONITOR

Software BRmonitor byl využit k vyhodnocení hodnot naměřených stanicemi BRS-32. Jednalo se o měření v objektech Porážková 1424/20, Porážková 1132/42, Plynární 18, dále měření u pilířů mostů na ulici 28. října a Českobratrská a dvě stanice byly také použity při profilovém měření.

Po načtení vybraného záznamu měření program vykreslí amplitudy rychlosti kmitání složeného z kmitání ve směru vertikálním (Z), horizontálním radiálním (N) a horizontálním transverziálním (E) (Obr. 36). Je-li potřeba tyto hodnoty rozložit do jednotlivých složek (Obr. 37), je zapotřebí nejprve určit přesný čas. Program poté vykreslí 5 sekund záznamu a stanoví maximální hodnoty amplitudy v jednotlivých směrech ve vybraném časovém úseku. Tento rozsah může být dále zvětšován s krokem 5 sekund.



Obr. 36: Seismický záznam v softwaru BRmonitor



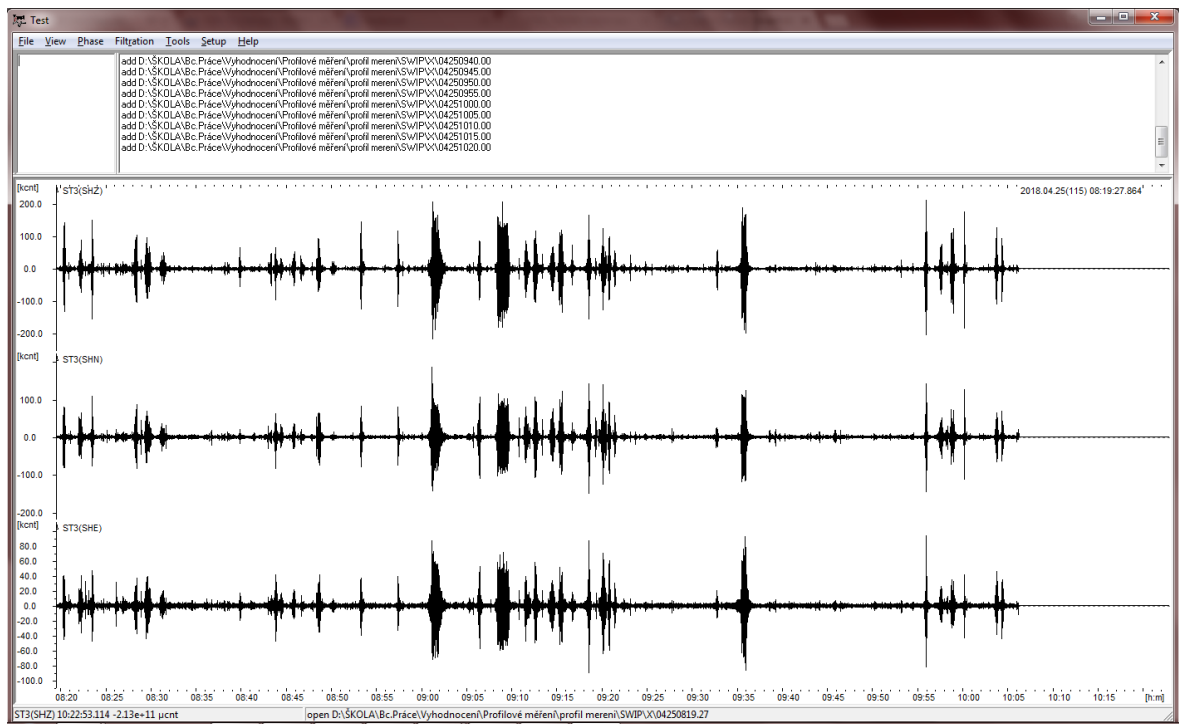
Obr. 37: Detail záznamu průjezdu vlaku v čase 12:02 v softwaru BRmonitor

9.2 SWIP

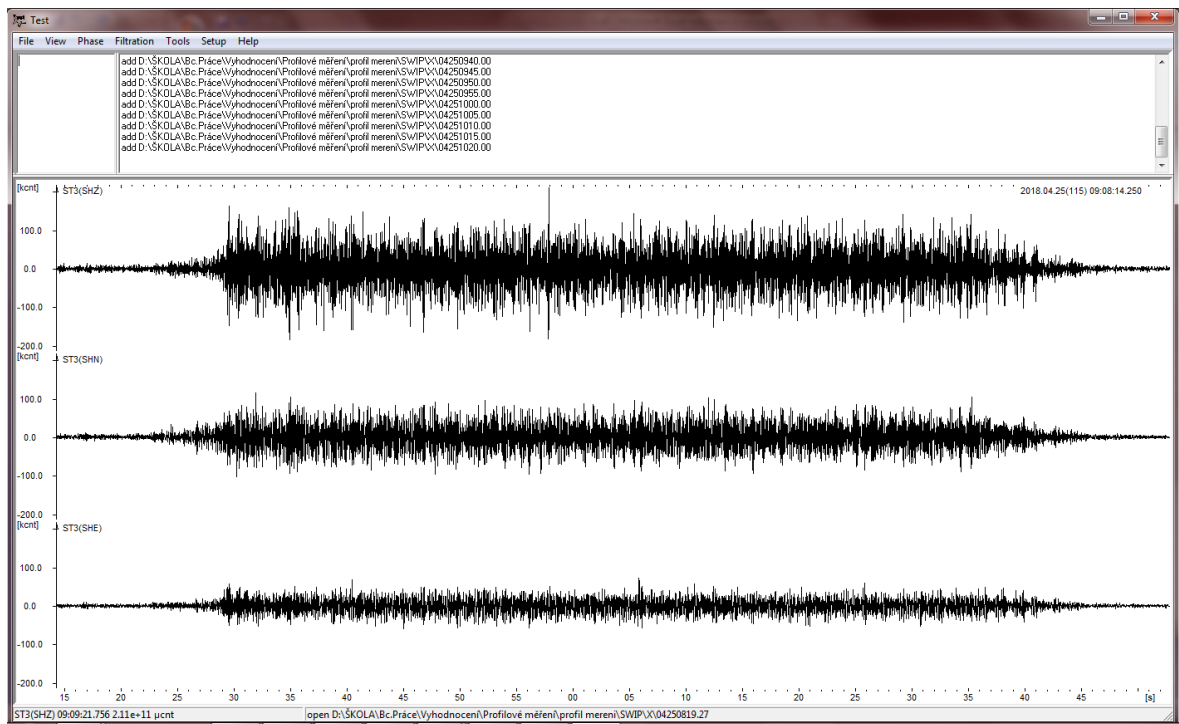
Program SWIP slouží k vyhodnocování hodnot naměřených pomocí seizmických stanic Gaia. Dvě tyto stanice byly využity při profilovém měření ve sledované lokalitě.

Na rozdíl od softwaru BRmonitor, SWIP zobrazuje naměřené hodnoty pouze rozložené do tří směrů (Obr. 38, Obr. 39). Software neumožňuje automatické odečítání maximálních hodnot, jednotlivé hodnoty je potřeba odečítat ze záznamu manuálně. Naměřené hodnoty jsou vykreslovány v countech [cnt], je proto potřeba hodnoty ještě přepočítat pomocí následujícího vzorce:

$$1 \mu\text{cnt} = 2,987 \cdot 10^{-12} [\text{mm/s}] \quad (1)$$



Obr. 38: Seizmický záznam v programu SWIP

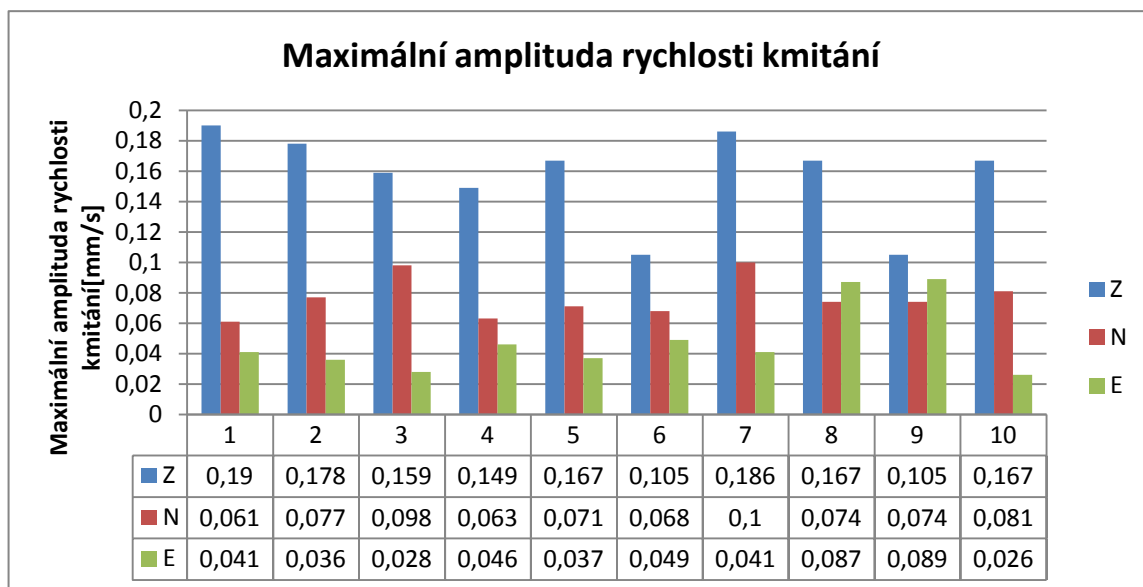


Obr. 39: Detail průjezdu vlaku v čase 12:02 v programu SWIP

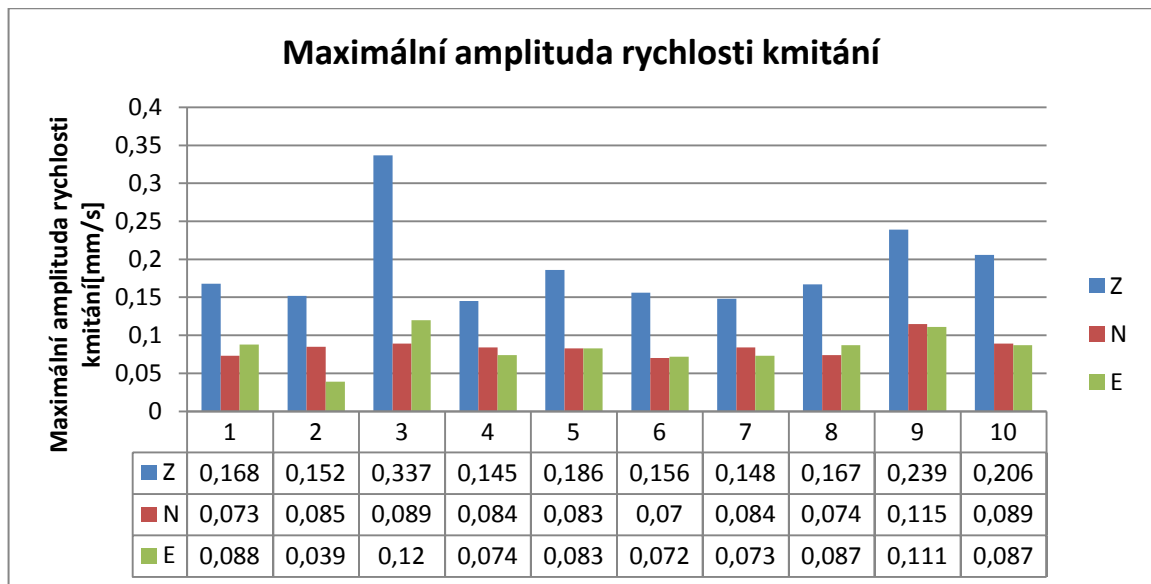
9.3 VYHODNOCENÍ PORÁŽKOVÁ 1424/20

čas průjezdu	Z[mm/s]	N[mm/s]	E[mm/s]	Typ vlaku
15:15	0,168	0,073	0,088	Nákladní
15:27	0,19	0,061	0,041	Osobní
15:31	0,152	0,085	0,039	Nákladní
15:34	0,178	0,077	0,036	Osobní
17:21	0,159	0,098	0,028	Osobní
17:38	0,149	0,063	0,046	Osobní
17:48	0,167	0,071	0,037	Osobní
18:52	0,337	0,089	0,12	Nákladní
19:24	0,145	0,084	0,074	Nákladní
20:18	0,186	0,083	0,083	Nákladní
20:25	0,156	0,07	0,072	Nákladní
20:30	0,105	0,068	0,049	Osobní
20:39	0,148	0,084	0,073	Nákladní
21:22	0,186	0,1	0,041	Osobní
23:58	0,167	0,074	0,087	Osobní
23:58	0,167	0,074	0,087	Nákladní
0:33	0,239	0,115	0,111	Nákladní
0:41	0,206	0,089	0,087	Nákladní
1:47	0,105	0,074	0,089	Osobní
4:04	0,167	0,081	0,026	Osobní

Tabulka 4 : Tabulka vybraných naměřených hodnot v objektu Porážková 1424/20



Graf 1: Maximální amplitudy rychlosti kmitání vyvolaného průjezdy vlaků osobní přepravy

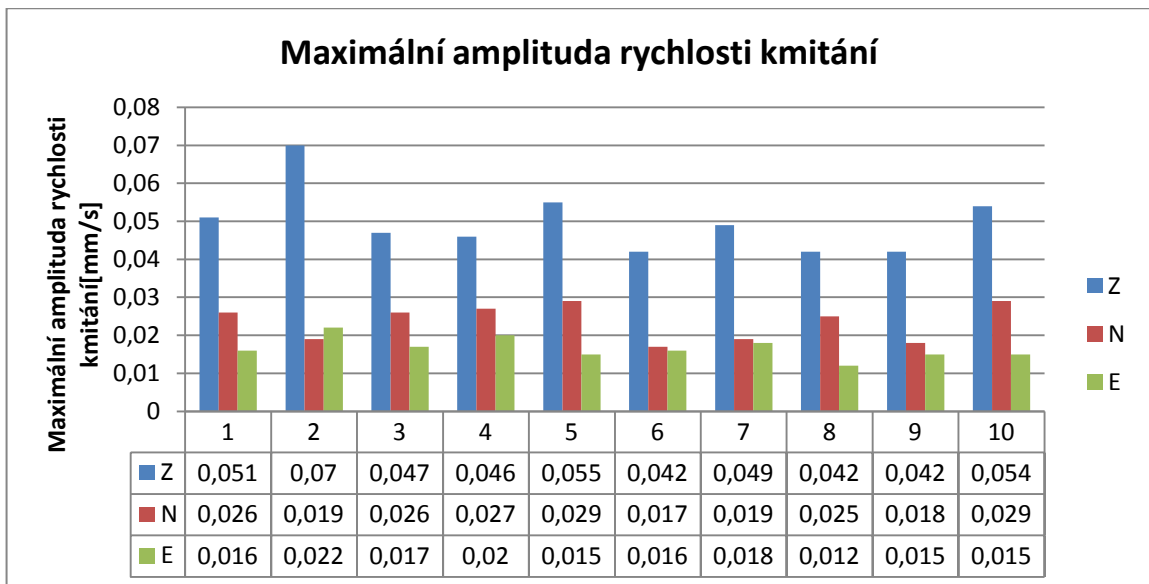


Graf 2: Maximální amplitudy rychlostí kmitání vyvolaného průjezdy vlaků nákladní přepravy

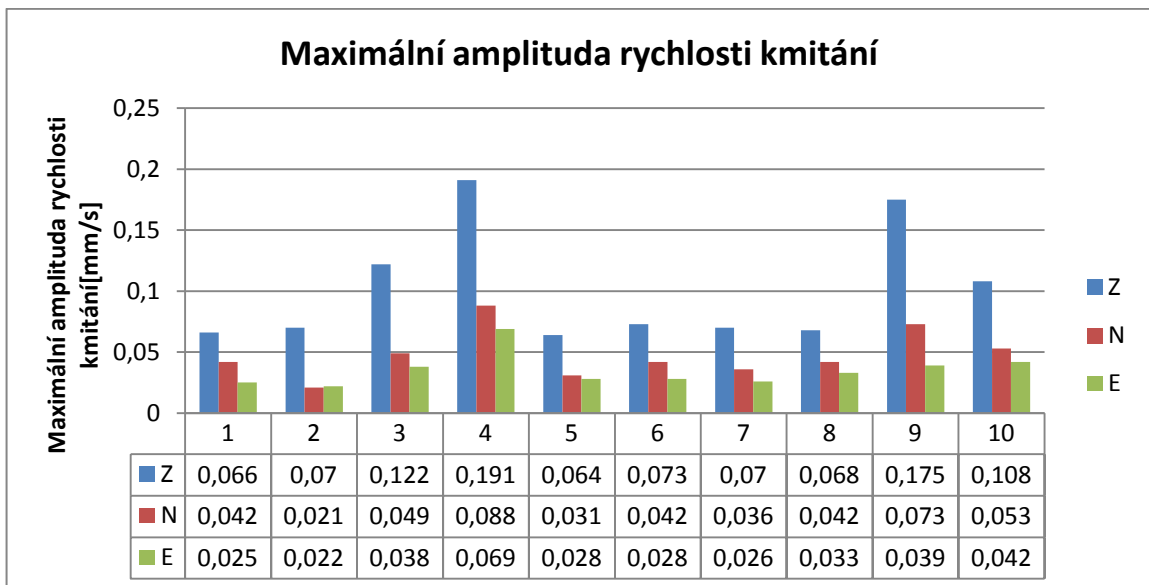
9.4 VYHODNOCENÍ PORÁŽKOVÁ 1132/42

Čas průjezdu	Z[mm/s]	N[mm/s]	E[mm/s]	Typ vlaku
15:00	0,051	0,026	0,016	Osobní
15:13	0,066	0,042	0,025	Nákladní
15:31	0,047	0,026	0,017	Osobní
15:54	0,07	0,019	0,022	Osobní
15:54	0,07	0,021	0,022	Nákladní
16:00	0,046	0,027	0,02	Osobní
16:21	0,042	0,017	0,016	Osobní
16:25	0,055	0,029	0,015	Osobní
18:18	0,049	0,019	0,018	Osobní
19:03	0,122	0,049	0,038	Nákladní
19:15	0,191	0,088	0,069	Nákladní
19:19	0,064	0,031	0,028	Nákladní
20:32	0,042	0,018	0,015	Osobní
20:34	0,042	0,025	0,012	Osobní
21:07	0,054	0,029	0,015	Osobní
21:19	0,073	0,042	0,028	Nákladní
23:14	0,07	0,036	0,026	Nákladní
23:49	0,068	0,042	0,033	Nákladní
2:18	0,175	0,073	0,039	Nákladní
2:39	0,108	0,053	0,042	Nákladní

Tabulka 5: Tabulka vybraných naměřených hodnot v objektu Porážková 1132/42



Graf 3: Maximální amplitudy rychlostí kmitání vyvolaného průjezdy vlaků osobní přepravy

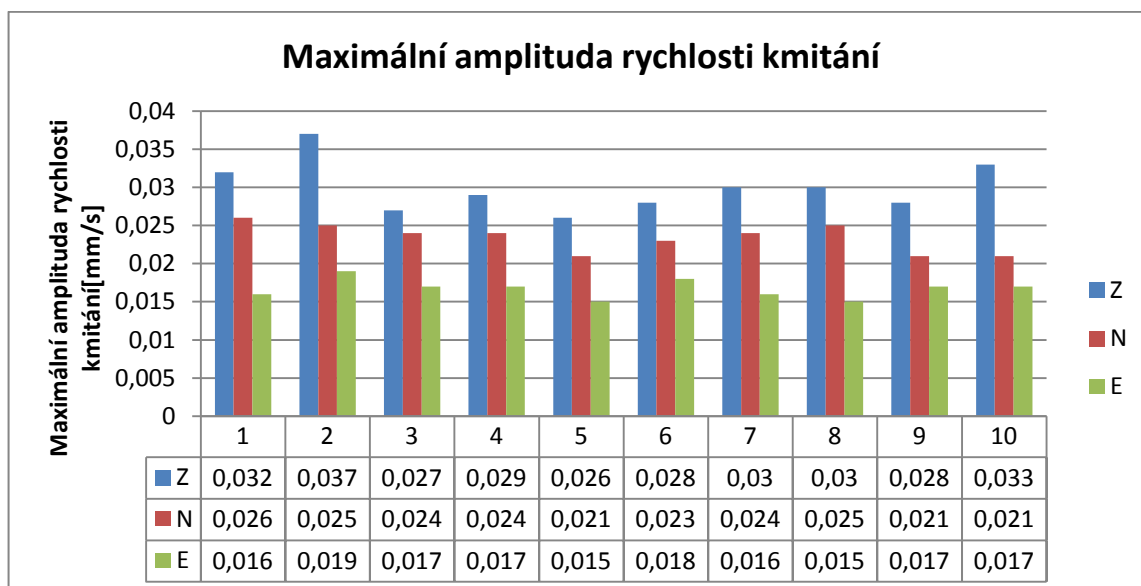


Graf 4: Maximální amplitudy rychlostí kmitání vyvolaného průjezdy vlaků nákladní přepravy

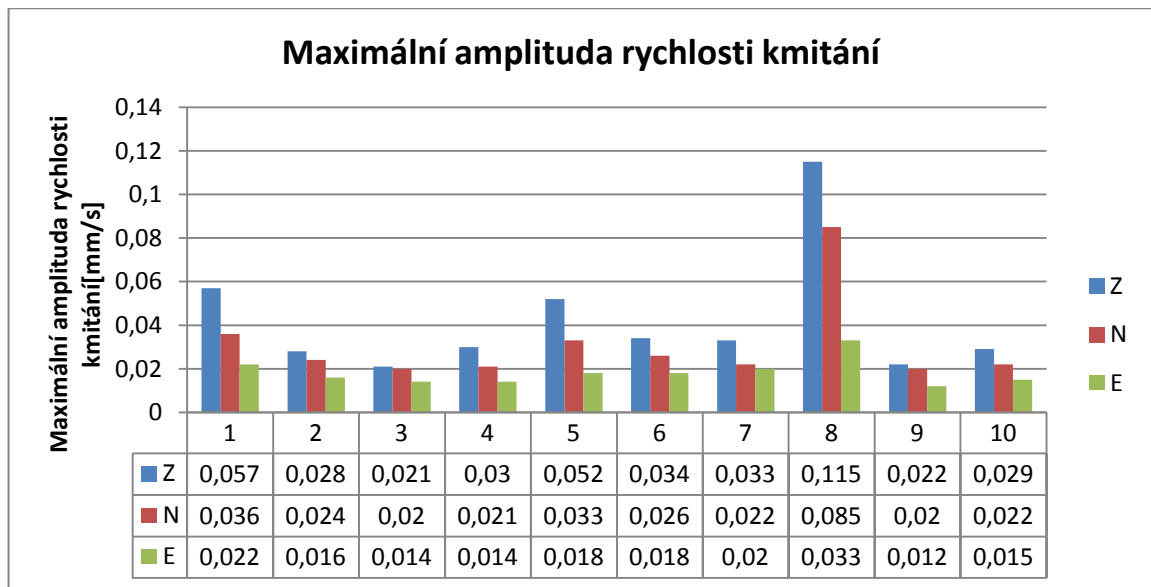
9.5 VYHODNOCENÍ PLYNÁRNÍ 18

Čas průjezdu	Z[mm/s]	N[mm/s]	E[mm/s]	Typ vlaku
15:04	0,032	0,026	0,016	Osobní
15:24	0,037	0,025	0,019	Osobní
15:40	0,057	0,036	0,022	Nákladní
15:52	0,027	0,024	0,017	Osobní
16:08	0,029	0,024	0,017	Osobní
16:44	0,026	0,021	0,015	Osobní
17:04	0,028	0,023	0,018	Osobní
17:19	0,028	0,024	0,016	Nákladní
17:53	0,03	0,024	0,016	Osobní
18:17	0,021	0,02	0,014	Nákladní
18:30	0,03	0,021	0,014	Nákladní
18:38	0,052	0,033	0,018	Nákladní
18:51	0,034	0,026	0,018	Nákladní
18:54	0,03	0,025	0,015	Osobní
19:53	0,028	0,021	0,017	Osobní
21:44	0,033	0,021	0,017	Osobní
21:44	0,033	0,022	0,02	Nákladní
22:11	0,115	0,085	0,033	Nákladní
0:40	0,022	0,02	0,012	Nákladní
2:01	0,029	0,022	0,015	Nákladní

Tabulka 6: Tabulka vybraných naměřených hodnot v objektu Plynárni 18



Graf 5: Maximální amplitudy rychlostí kmitání vyvolaného průjezdy vlaků osobní přepravy

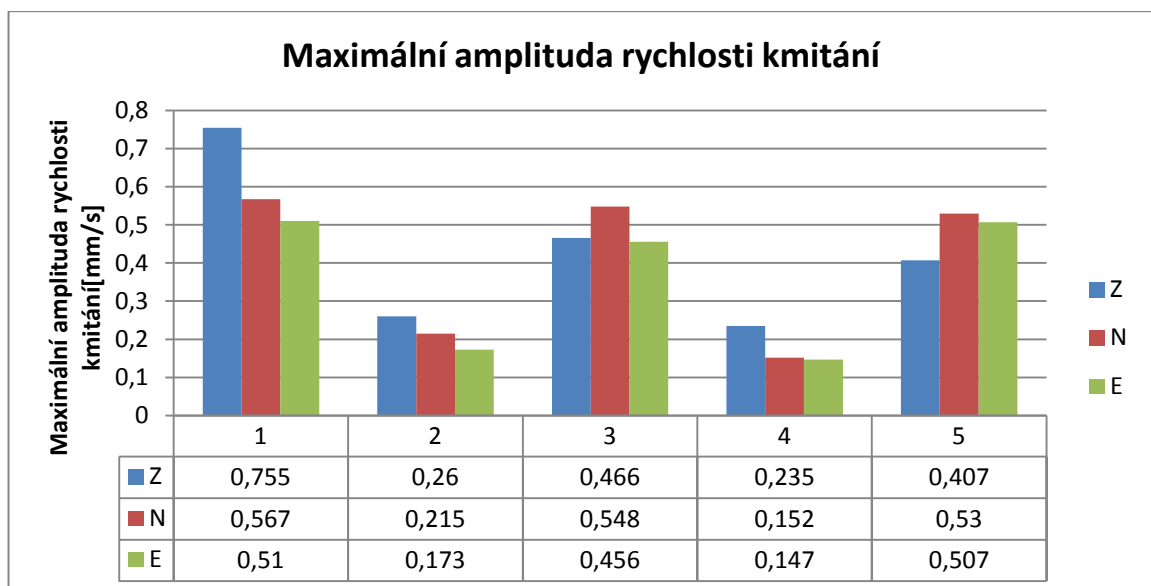


Graf 6: Maximální amplitudy rychlostí kmitání vyvolaného průjezdy vlaků nákladní přepravy

9.6 VYHODNOCENÍ 28. ŘÍJNA

Čas průjezdu	Z[mm/s]	N[mm/s]	E[mm/s]	Typ vlaku
11:58	0,755	0,567	0,51	Osobní
12:10	0,26	0,215	0,173	Osobní
12:15	0,466	0,548	0,456	Osobní
12:24	0,235	0,152	0,147	Osobní
12:25	0,407	0,53	0,507	Osobní

Tabulka 7: Tabulka vybraných naměřených hodnot u pilíře mostu na ulici 28. října

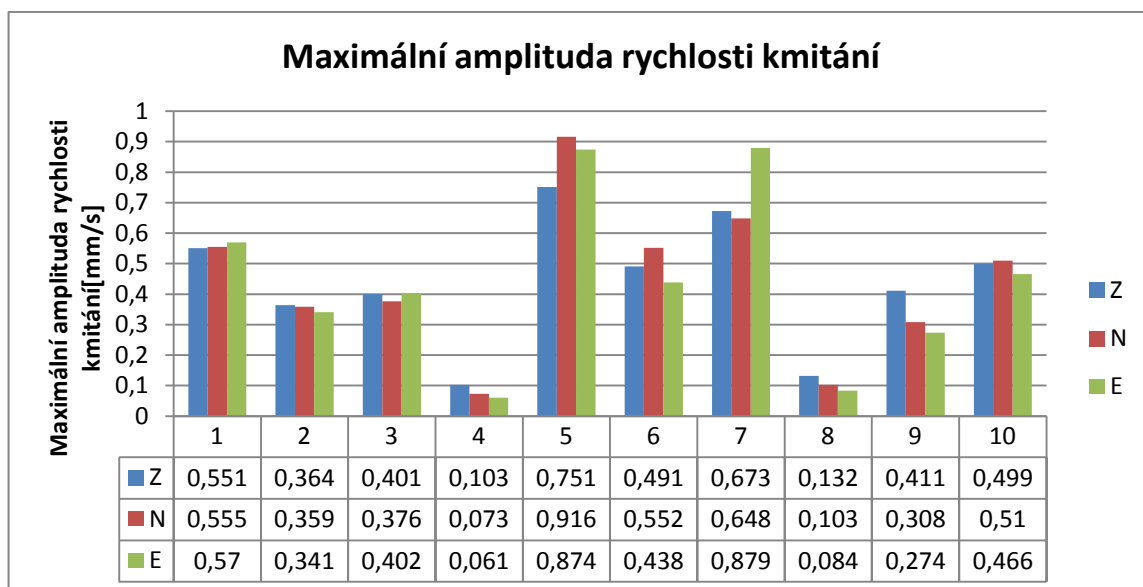


Graf 7: Maximální amplitudy rychlostí kmitání vyvolaného průjezdy vlaků

9.7 VHODNOCENÍ ČESKOBRASTRSKÁ

Čas průjezdu	Z[mm/s]	N[mm/s]	E[mm/s]	Typ vlaku
13:22	0,551	0,555	0,57	Osobní
13:34	0,364	0,359	0,341	Osobní
13:44	0,401	0,376	0,402	Osobní
13:54	0,103	0,073	0,061	Osobní
14:05	0,751	0,916	0,874	Osobní
14:08	0,491	0,552	0,438	Nákladní
14:22	0,673	0,648	0,879	Osobní
14:24	0,132	0,103	0,084	Osobní
14:36	0,411	0,308	0,274	Osobní
14:52	0,499	0,51	0,466	Osobní

Tabulka 8: Tabulka vybraných naměřených hodnot u pilíře mostu na ulici Českobratrská

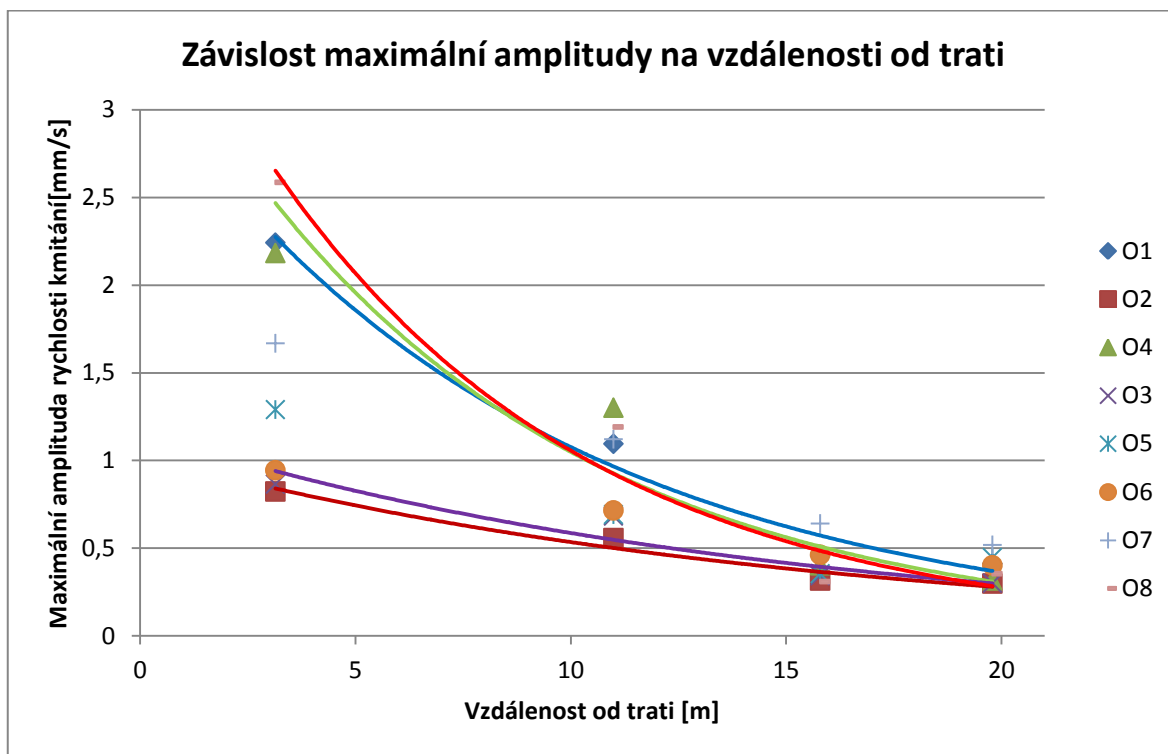


Graf 8: Maximální amplitudy rychlosti kmitání vyvolaného průjezdy vlaků

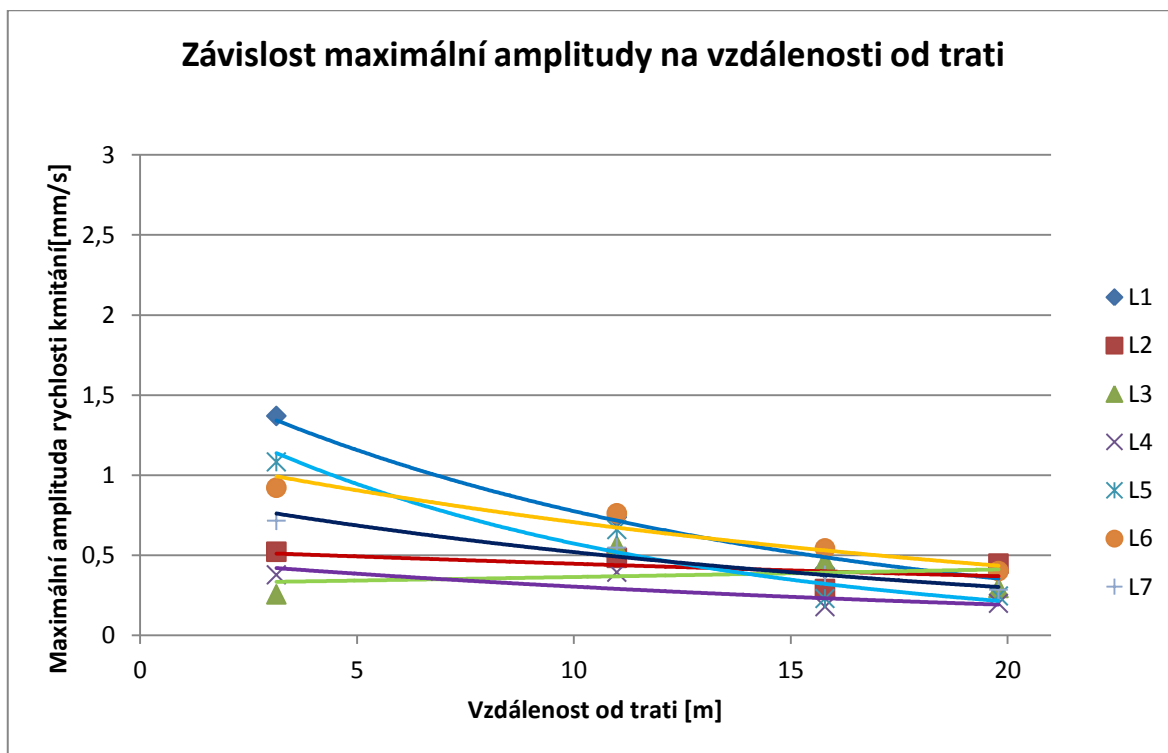
9.8 ÚTLUM HORNINOVÉHO PROSTŘEDÍ VE SLEDOVANÉ LOKALITĚ

Označení jevu	Černý	Oranžový	X	4	Typ přepravy	Čas průjezdu
O1	2,242	1,095	0,461	0,411	Osobní	10:23
O2	0,823	0,557	0,315	0,298	Osobní	10:28
O4	0,865	0,683	0,342	0,3	Osobní	10:57
O3	2,183	1,301	0,402	0,315	Osobní	10:53
O5	1,29	0,691	0,354	0,446	Osobní	11:12
O6	0,944	0,715	0,462	0,402	Osobní	11:56
O7	1,668	1,121	0,64	0,518	Osobní	11:15
O8	2,586	1,191	0,309	0,354	Osobní	12:04
N1	1,195	1,129	0,616	0,619	Nákladní	11:01
N2	1,16	0,974	0,616	0,553	Nákladní	11:10
N3	1,419	0,967	0,598	0,583	Nákladní	11:35
L1	1,371	0,739	0,417	0,393	Lokomotiva	10:29
L2	0,523	0,485	0,29	0,449	Lokomotiva	11:17
L3	0,257	0,561	0,464	0,297	Lokomotiva	11:32
L4	0,379	0,395	0,18	0,201	Lokomotiva	11:57
L5	1,084	0,661	0,231	0,247	Lokomotiva	11:59
L6	0,923	0,763	0,544	0,402	Lokomotiva	12:00
L7	0,717	0,549	0,378	0,286	Lokomotiva	12:03

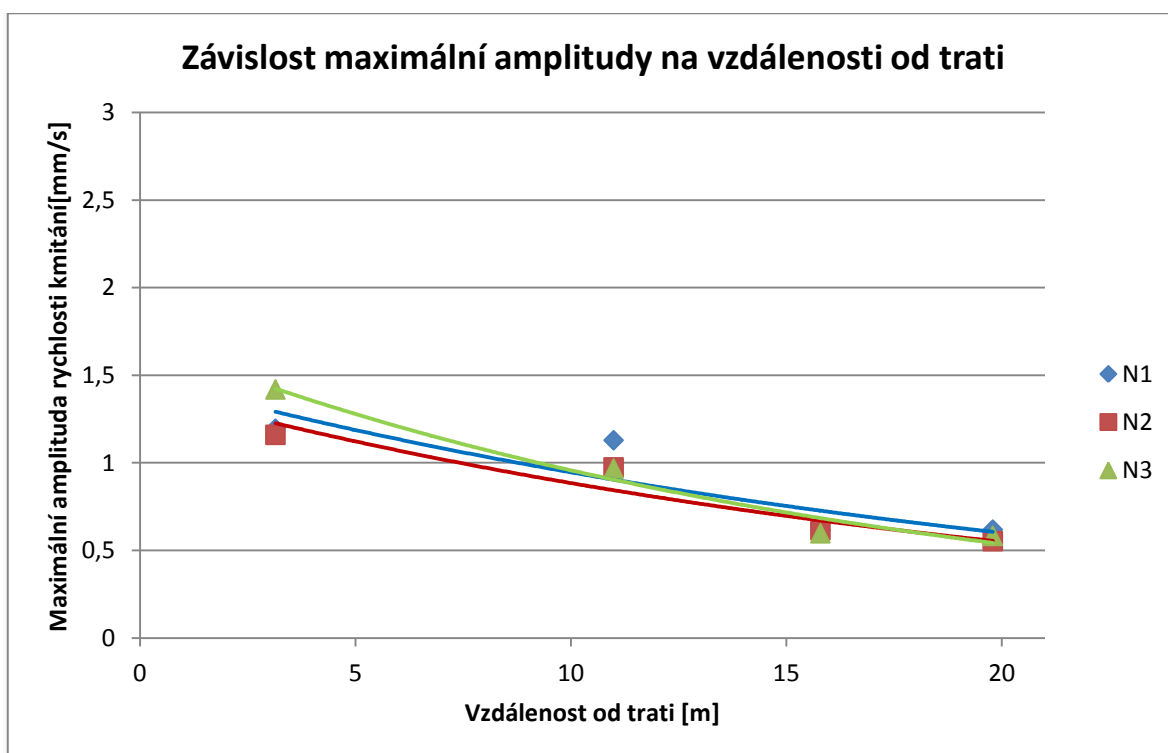
Tabulka 9: Tabulka vybraných naměřených hodnot při profilovém měření



Graf 9: Závislost maximální amplitudy rychlosti kmitání vyvolaného vlaky osobní přepravy na vzdálenosti od trati



Graf 10: Závislost maximální amplitudy rychlosti kmitání vyvolaného lokomotivami na vzdálenosti od trati



Graf 11: Závislost maximální amplitudy rychlosti kmitání vyvolaného vlaky nákladní přepravy na vzdálenosti od trati

10 ZÁVĚR

Tato bakalářská práce se zabývá dynamickou odezvou objektů na seizmické zatížení vyvolané železniční dopravou podél trati mezi stanicemi Ostrava hlavní nádraží a Ostrava střed. Cílem práce bylo provést několik měření v dané lokalitě a následně naměřené hodnoty vyhodnotit na základě maximálních amplitud rychlosti kmitání. K měření byly vybrány 3 soukromé objekty a 2 mosty. Součástí práce bylo také profilové měření útlumu horninového prostředí.

Měření v objektech byla vyhodnocována v časovém intervalu 12 hodin, měření u pilířů mostů a profilové měření bylo vždy vyhodnocováno v celém svém trvání. V rámci práce ve všech vyhodnocovaných časových úsecích bylo zaznamenáno dohromady 127 průjezdů vlaků osobní přepravy a 44 průjezdů vlaků přepravy nákladní. Pro přesnější informace byla prozkoumána projektová dokumentace některých objektů. Dále pomocí počítačové modelace na základě geologických vrtů byly získány bližší informace o geologickém podloží.

Veškeré vlaky projíždějící touto lokalitou se pohybují přibližně stejnou rychlostí. Díky tomu bylo možné porovnávat výsledky měření i přes neznalost rychlosti pohybu jednotlivých souprav. Dalším faktorem ovlivňujícím naměřené hodnoty byla skutečná hmotnost soupravy. Tuto hodnotu však nebylo možné určit ani dohledat.

Obecně nákladní vlaky vyvolaly výrazně vyšší amplitudu rychlosti kmitání než vlaky osobní, což bylo způsobeno výrazně vyšší hmotností plně naložených vlakových souprav, oproti soupravám osobní přepravy. Jediná měření, u kterých byla nejvyšší amplituda vyvolána průjezdem osobního vlaku, byla terénní měření u pilířů mostů. Tato měření měla délku pouze 1 a 1,5 hod a v tomto časovém úseku sledovanou lokalitou žádný plně naložený nákladní vlak neprojel.

Limitní hodnota kmitání nebyla u žádného ze sledovaných objektů překročena. Maximální naměřená amplituda měla hodnotu 0,337 mm/s ve vertikálním směru a limitní amplituda byla pro příslušný objekt 1 mm/s. Maximální využitá kapacita limitní rychlosti kmitání byla tedy 33,7%.

11 SEZNAM POUŽITÝCH ZDROJŮ INFORMACÍ

- [1] KALÁB, Z. *Seizmická měření v geotechnice*. Ostrava: Vysoká škola báňská - technická univerzita Ostrava, 2008. ISBN 978-80- 2481795-5.
- [2] Český normalizační institut. *ČSN 73 0040 - Zatížení stavebních objektů technickou seismicitou a jejich odezva*. Praha, 1996.
- [3] Český normalizační institut. *ČSN 73 0031 - Spolehlivost stavebních konstrukcí a základových púd. Základní ustanovení pro výpočet*. Praha, 1988.
- [4] ŘEHÁK, J. *Seizmická odezva tramvajové dopravy v zastavěné oblasti*. Ostrava: Vysoká škola báňská - technická univerzita Ostrava, 2014.
- [5] KÍČMER L. *Seizmická odezva významných objektů v oblasti města Ostravy vlivem tramvajové dopravy*. Ostrava: Vysoká škola báňská - technická univerzita Ostrava, 2016
- [6] *Uživatelská příručka seismické měřicí aparatury Gaia2T*. Vistec, 2006.
- [7] *Uživatelská příručka seismického senzoru ViGeo2*. Vistec, 2006.
- [8] *Uživatelská příručka seismického dataloggeru BRS-32*. Tedia spol. s.r.o., 2013
- [9] *Sešitový jízdní řád 301 nákladní*, Správa železničních dopravních cest, 2018
- [10] *Sešitový jízdní řád 301 osobní*, Správa železničních dopravních cest, 2018
- [11] Seizmická měření. *Geotechnici*. [Online] Dostupné z URL: http://www.geotechnici.cz/wp-content/uploads/2012/08/Monitoring_cviceni7_seismika.pdf.
- [12] Technické památky, *Báňské nádraží* [online] Dostupné z URL: <http://podzemi.solvayovylomy.cz/techpam/banska/banska.htm>
- [13] Městská jatka, Ostrava *Stavby v MS kraji* [online] Dostupné z URL: <http://www.msstavby.cz/projekty/jatka/>
- [14] Báňská dráha, *Wikipedia* [online] Dostupné z URL: https://cs.wikipedia.org/wiki/Báňská_dráha
- [15] Uhelné dráhy v Ostravsko-Karvinském revíru, *SPZ* [online] Dostupné z URL: <http://spz.logout.cz/trate/bdr.html>
- [16] Ostrava-Stodolní, *Wikipedia* [online] Dostupné z URL: <https://cs.wikipedia.org/wiki/Ostrava-Stodoln%C3%AD>

12 SEZNAM OBRÁZKŮ POUŽITÝCH V TEXTU

Obr. 1: Mapa báňské dráhy z roku 1942[12]	9
Obr. 2: Historická fotografie městských jatek [13]	9
Obr. 3: Mapa sledované oblasti z roku 2018	10
Obr. 4: Umístění vybraných vrtů	11
Obr. 5: Model geologického podloží	12
Obr. 6: Řez modelem geologického prostředí	12
Obr. 7: Seizmický datalogger BRS-32	13
Obr. 8: Seizmická stanice Gaia	14
Obr. 9: Seizmometr ViGeo2	15
Obr. 10: Příklad ustavení měřicího zařízení	16
Obr. 11: Mapa sledované oblasti s vyznačeným umístěním referenčních a měřicích stanovišť a železničních stanic.....	20
Obr. 12: Pohled na objekt Porážková 1424/20	21
Obr. 13: Řez modelem v okolí sledovaného objektu	21
Obr. 14: Výkres řezu objektem	22
Obr. 15: Lokalizace objektu vůči železniční trati	22
Obr. 16: Referenční stanoviště.....	23
Obr. 17: Pohled na objekt Porážková 1132/42	23
Obr. 18: Řez modelem podloží v okolí sledovaného objektu.....	24
Obr. 19:Výkres řezu objektem	24
Obr. 20: Lokalizace objektu vůči železniční trati	25
Obr. 21:Referenční stanoviště	25
Obr. 22: Pohled na objekt Plynární 18	26
Obr. 23: Řez modelem podloží v okolí sledovaného objektu.....	26
Obr. 24: Lokalizace objektu vůči železniční trati	27
Obr. 25: Referenční stanoviště.....	27
Obr. 26: Lokalizace objektu vůči železniční trati	28
Obr. 27: Složení referenčního vrtu.....	29
Obr. 28: Měřicí stanoviště	29
Obr. 29: Lokalizace objektu vůči železniční trati	30
Obr. 30: Složení referenčního vrtu.....	31
Obr. 31: Měřicí stanoviště	31
Obr. 32: Schéma rozmístění seizmických senzorů	32
Obr. 33: Řez podložím sledovaného profilu.....	32
Obr. 34: Lokalizace měřicího stanoviště vůči železniční trati.....	33
Obr. 35: Měřicí stanoviště	33
Obr. 36: Seizmický záznam v softwaru BRmonitor	34
Obr. 37: Detail záznamu průjezdu vlaku v čase 12:02 v softwaru BRmonitor	35
Obr. 38: Seizmický záznam v programu SWIP.....	36
Obr. 39: Detail průjezdu vlaku v čase 12:02 v programu SWIP.....	36

13 SEZNAM GRAFŮ POUŽITÝCH V TEXTU

Graf 1: Maximální amplitudy rychlostí kmitání vyvolaného průjezdy vlaků osobní přepravy	37
Graf 2: Maximální amplitudy rychlostí kmitání vyvolaného průjezdy vlaků nákladní přepravy	38
Graf 3: Maximální amplitudy rychlostí kmitání vyvolaného průjezdy vlaků osobní přepravy	39
Graf 4: Maximální amplitudy rychlostí kmitání vyvolaného průjezdy vlaků nákladní přepravy	39
Graf 5: Maximální amplitudy rychlostí kmitání vyvolaného průjezdy vlaků osobní přepravy	40
Graf 6: Maximální amplitudy rychlostí kmitání vyvolaného průjezdy vlaků nákladní přepravy	41
Graf 7: Maximální amplitudy rychlostí kmitání vyvolaného průjezdy vlaků	41
Graf 8: Maximální amplitudy rychlostí kmitání vyvolaného průjezdy vlaků	42
Graf 9: Závislost maximální amplitudy rychlosti kmitání vyvolaného vlaky osobní přepravy na vzdálenosti od trati	43
Graf 10: Závislost maximální amplitudy rychlosti kmitání vyvolaného lokomotivami na vzdálenosti od trati.....	44
Graf 11: Závislost maximální amplitudy rychlosti kmitání vyvolaného vlaky nákladní přepravy na vzdálenosti od trati	44

14 SEZNAM TABULEK V TEXTU

Tabulka 1: Tabulka třídy významu objektů [3]	17
Tabulka 2: Třídy odolnosti objektů[2]	18
Tabulka 3: Mezní hodnoty efektivní rychlosti v_{ef} v mm/s[2].....	18
Tabulka 4 : Tabulka vybraných naměřených hodnot v objektu Porážková 1424/20	37
Tabulka 5: Tabulka vybraných naměřených hodnot v objektu Porážková 1132/42	38
Tabulka 6: Tabulka vybraných naměřených hodnot v objektu Plynární 18	40
Tabulka 7: Tabulka vybraných naměřených hodnot u pilíře mostu na ulici 28. října	41
Tabulka 8: Tabulka vybraných naměřených hodnot u pilíře mostu na ulici Českobratrská	42
Tabulka 9: Tabulka vybraných naměřených hodnot při profilovém měření.....	43